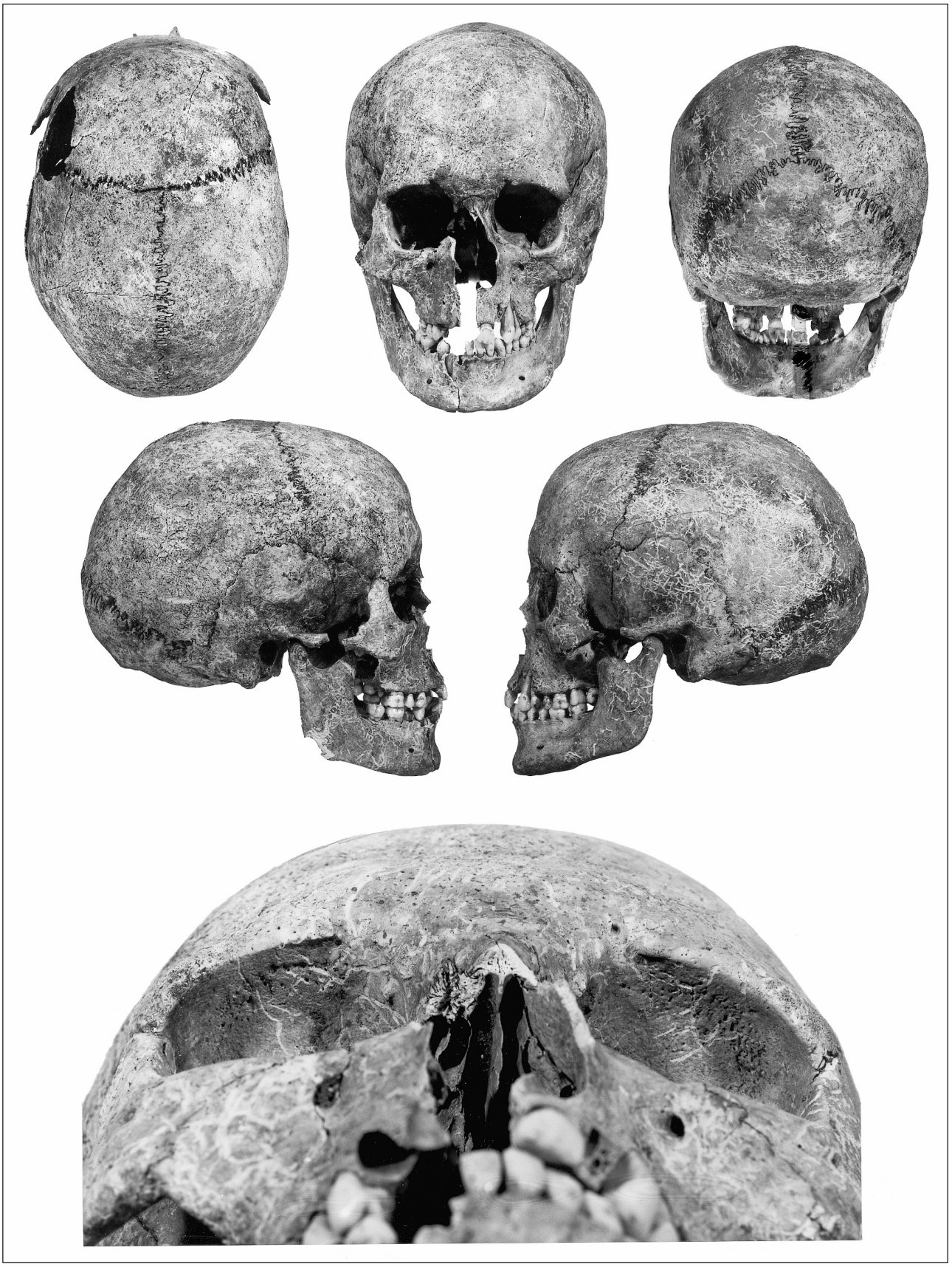
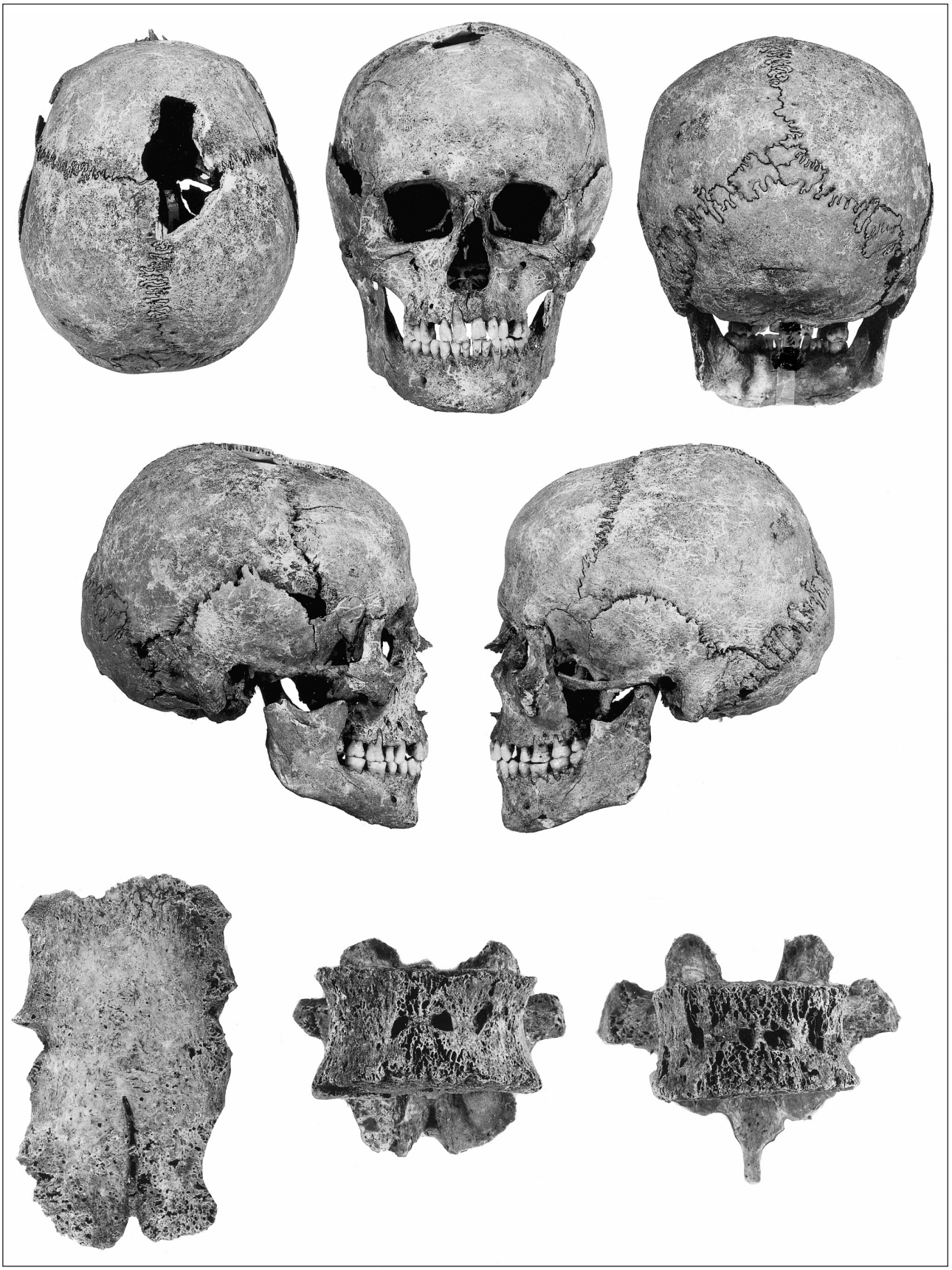
Tafelteil

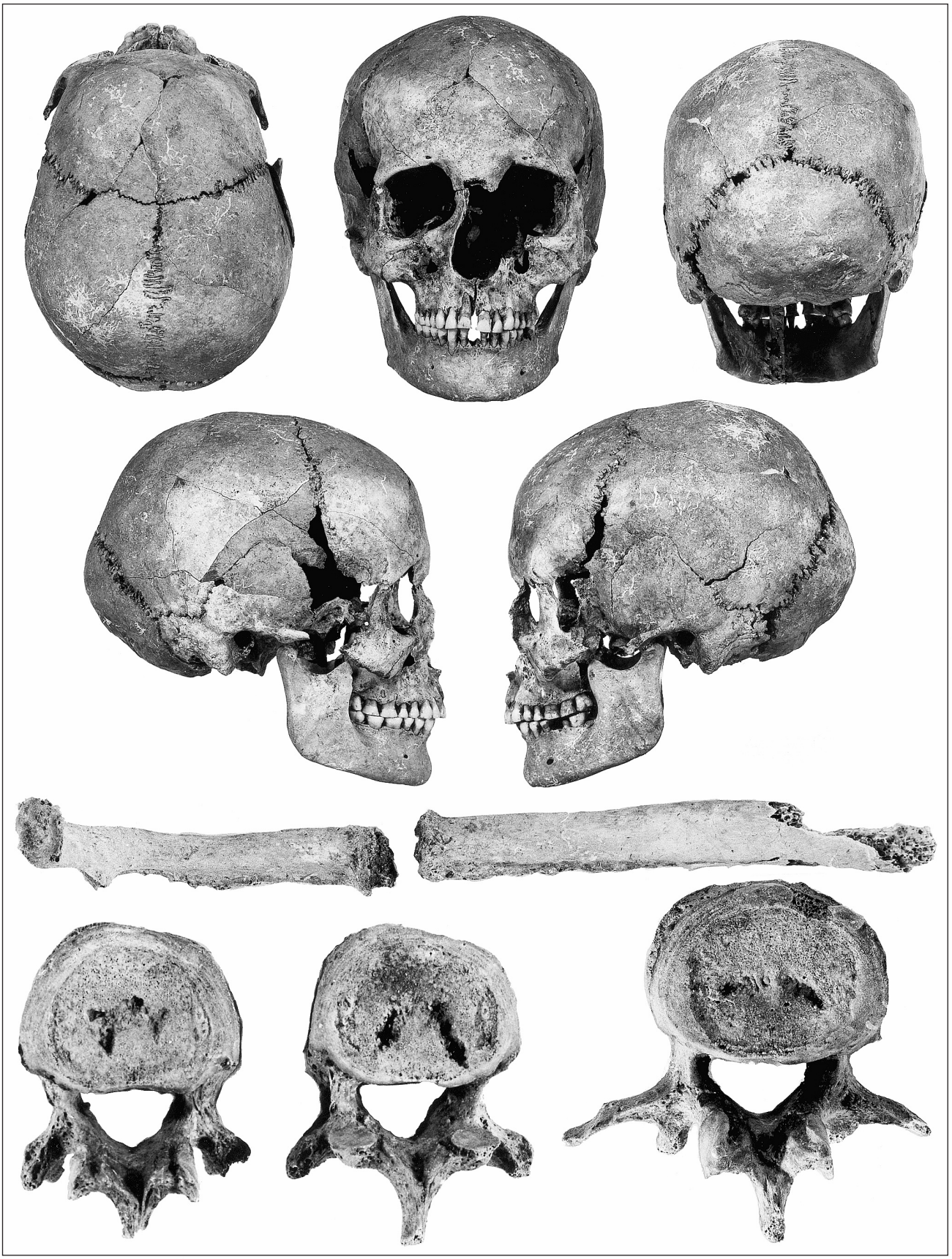


Grab 127; **oben** und **Mitte**: Cranium, Normansichten, **unten**: Cribra orbitalia

TAFEL II

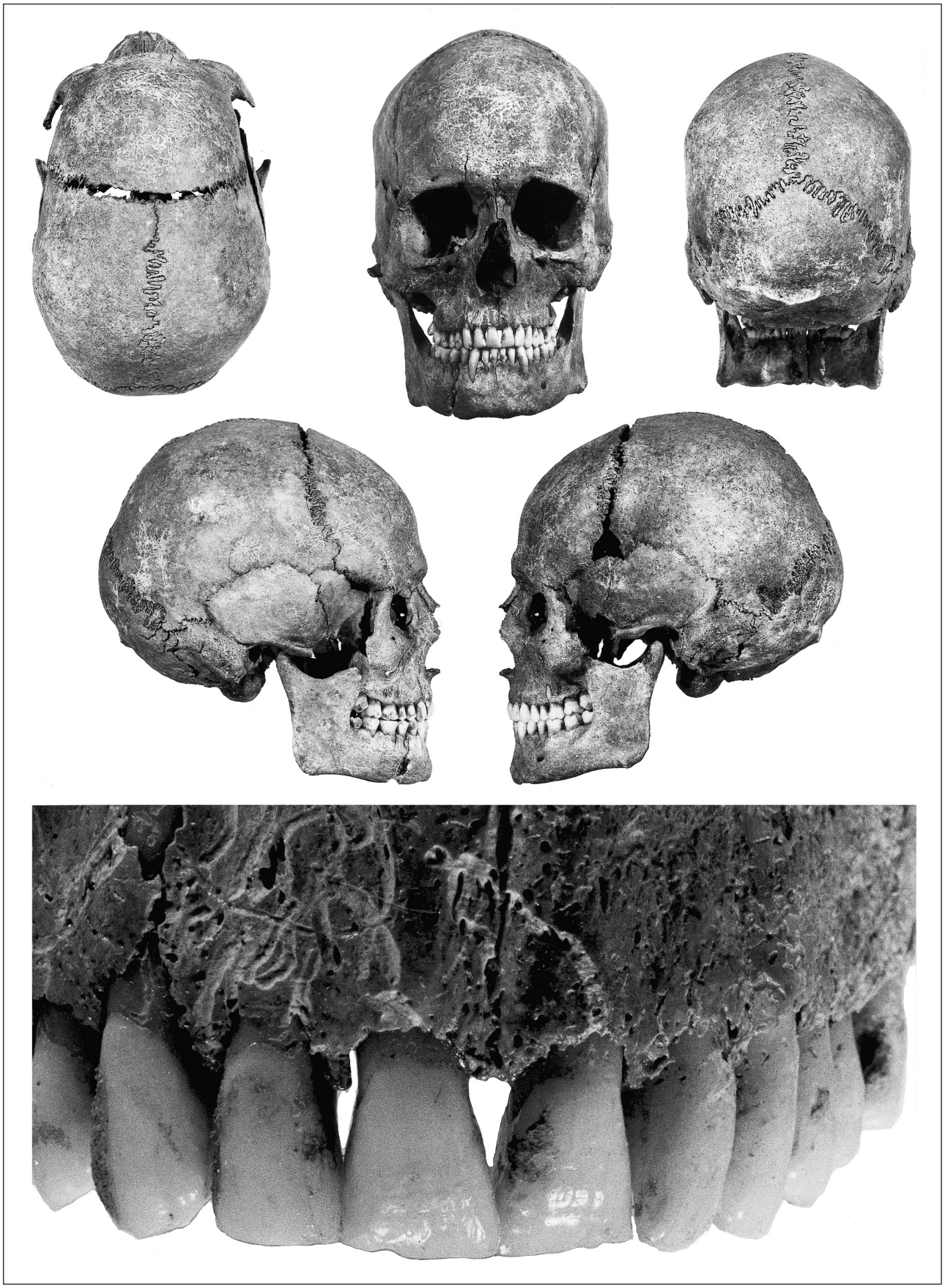


Grab 128; **oben** und **Mitte**: Cranium, Normansichten, **unten** von links nach rechts: verspätete Verknöcherung des Corpus sterni (ventral), Lochbildungen an der Ventralseite der Lumbalwirbelkörper

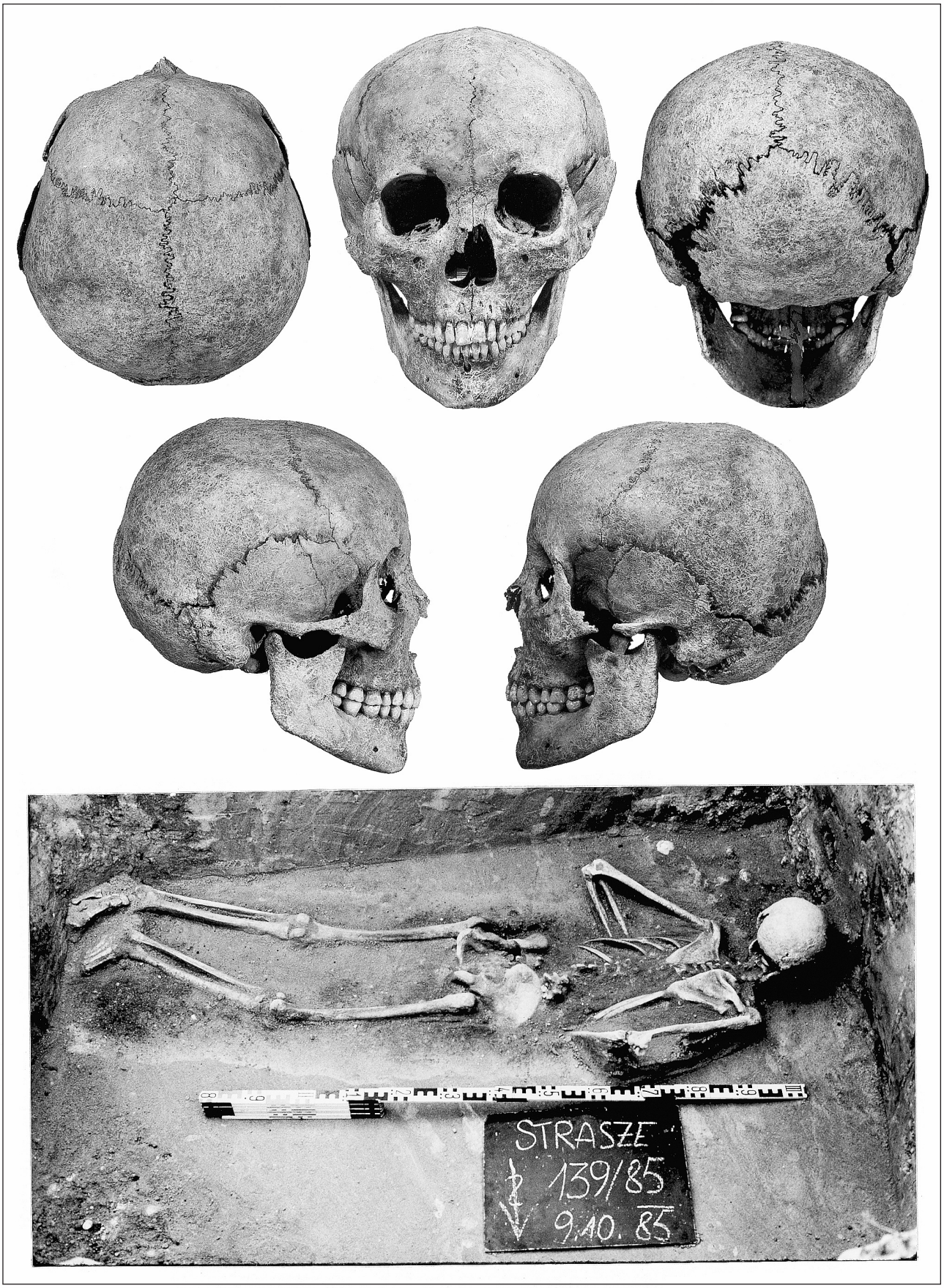


Grab 133; **oben** und **obere Mitte**: Cranium, Normansichten, **untere Mitte**: Pseudogelenksbildung nach Rippenfraktur, **unten**: Nucleus pulposus Hernien im Bereich der Brustwirbelsäule

TAFEL IV

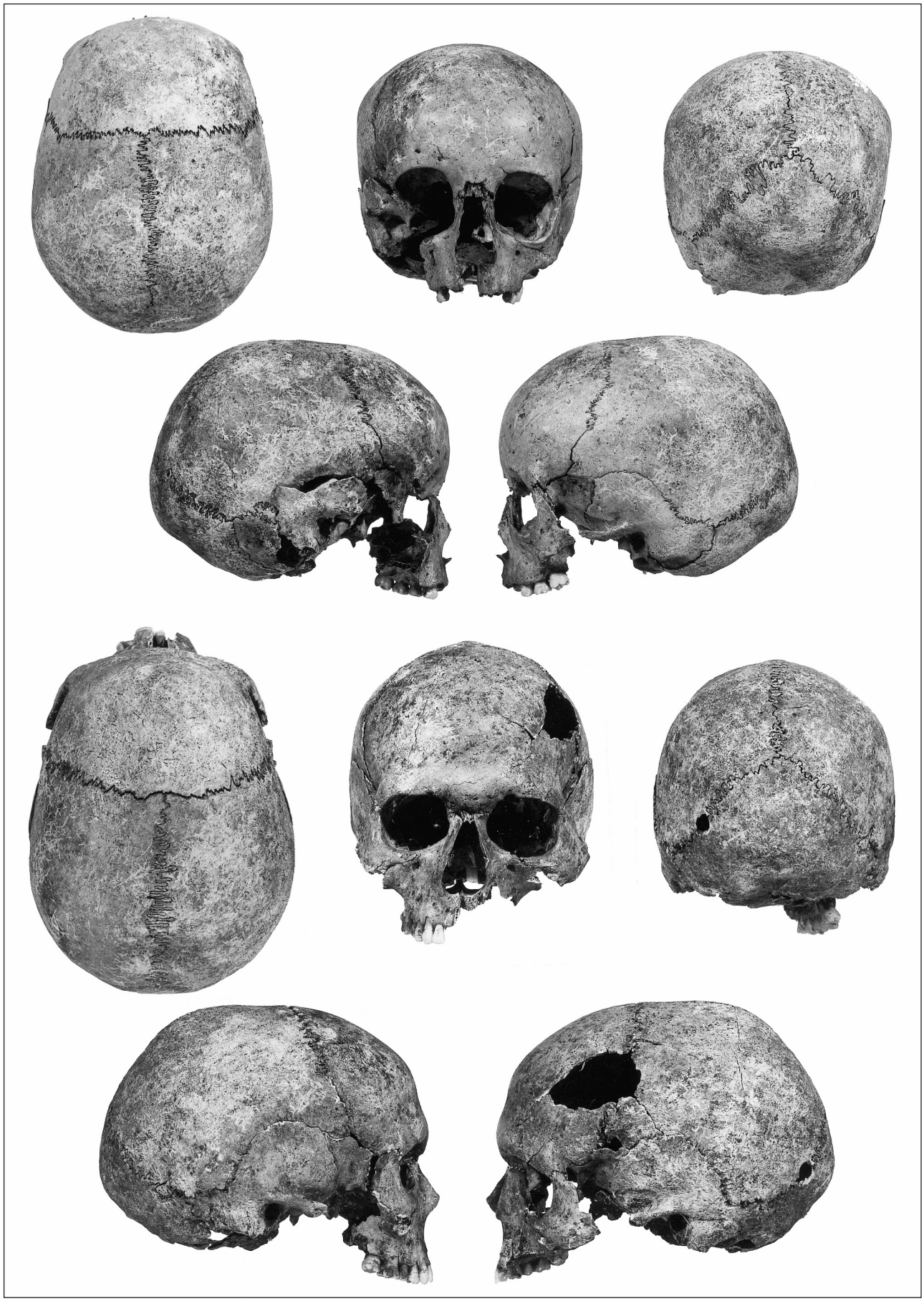


Grab 135; **oben** und **Mitte**: Cranium, Normansichten; **unten**: Schmelzhypoplasien an den Frontzähnen



Grab 157; **oben** und **Mitte**: Cranium, Normansichten, **unten**: Lage des Skelettes im Grab

TAFEL VI



Grab 159; **oben** und **obere Mitte**: Individuum 1, Cranium, Normansichten, **untere Mitte** und **unten**: Individuum 2, Cranium, Normansichten

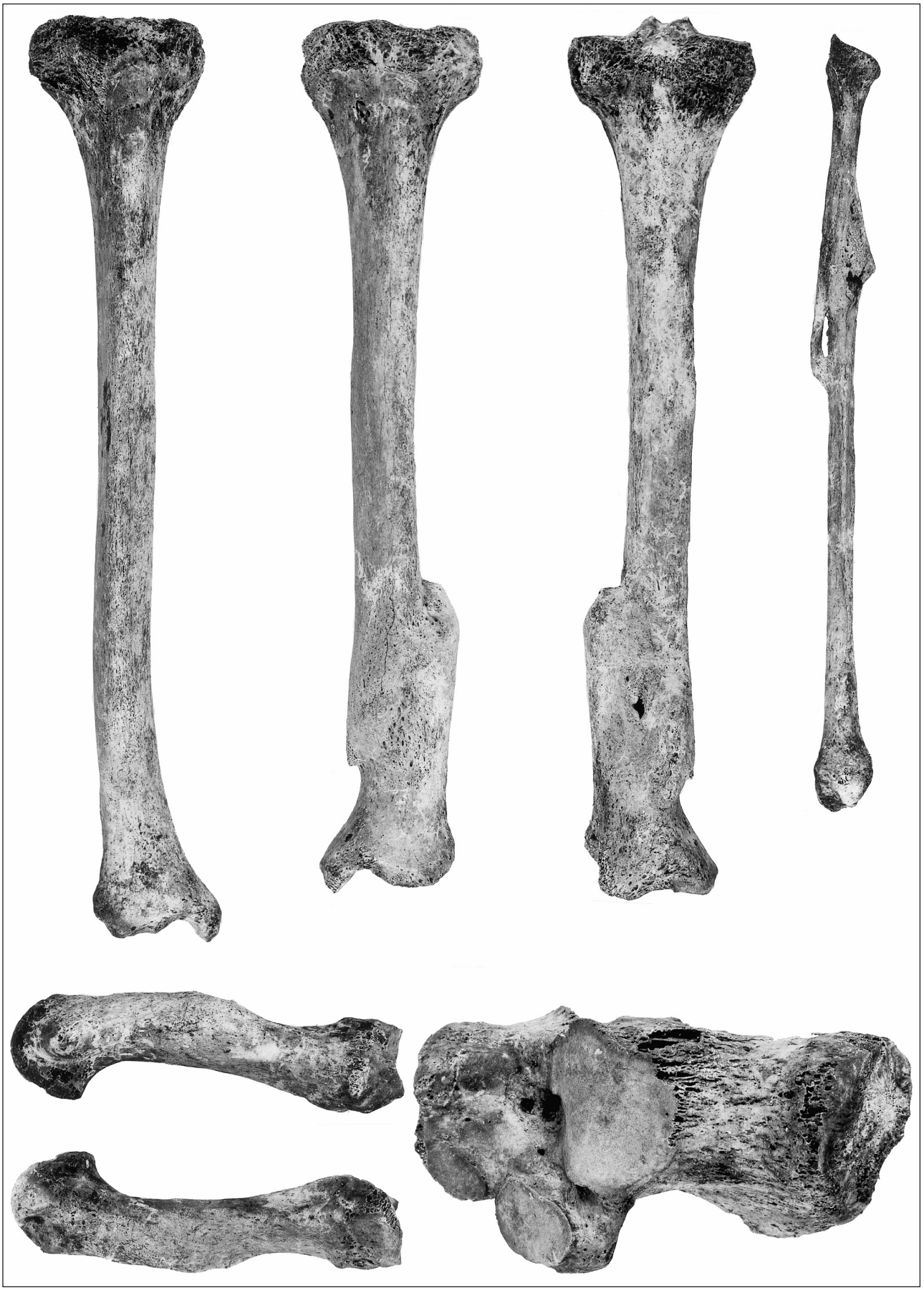


Grab 166; **oben** und **Mitte**: Cranium, Normansichten, **unten**: rachitisch verbogene Ulnae und Radii

TAFEL VIII

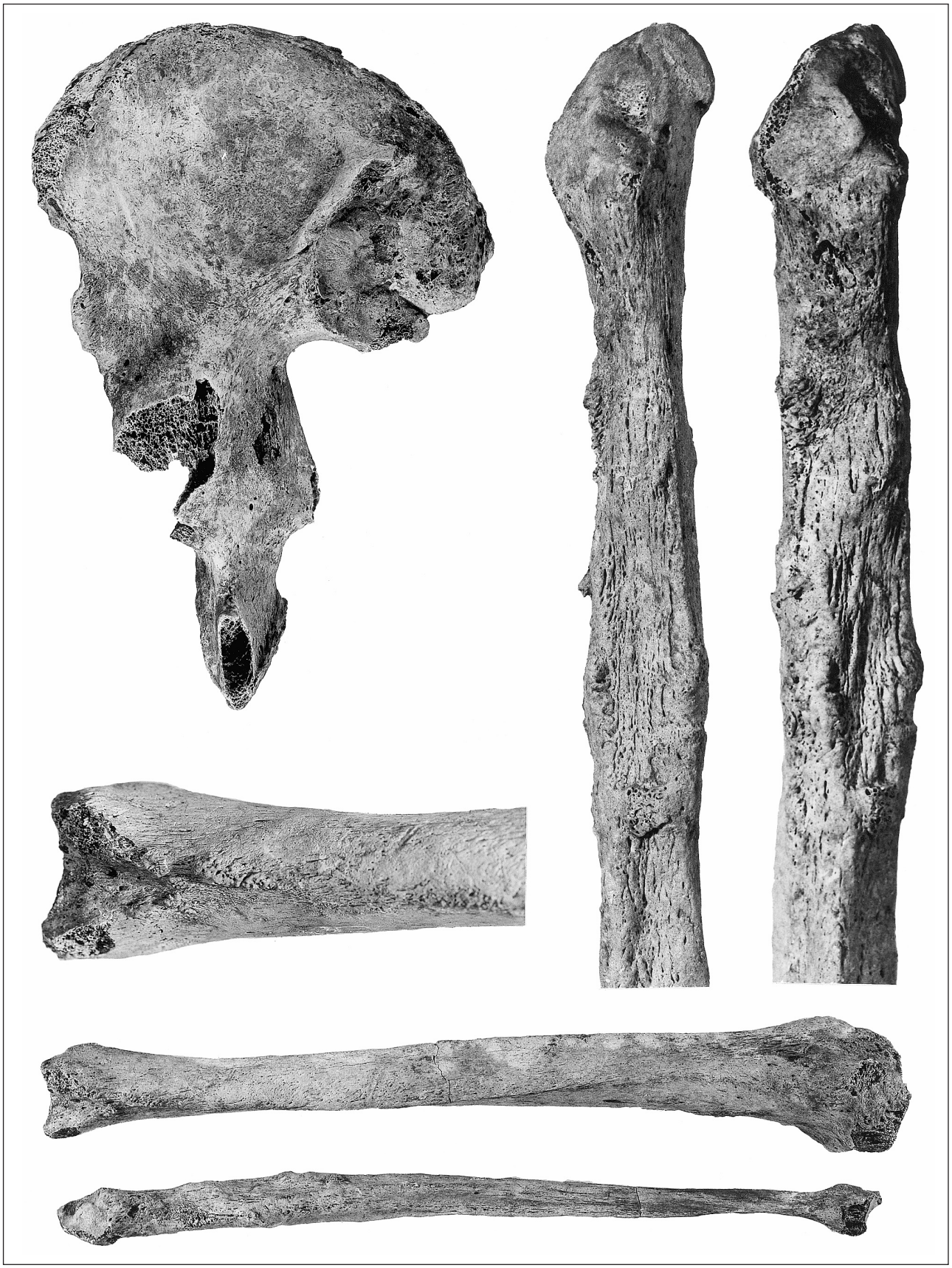


Grab 101; **oben** und **obere Mitte links**: verknöcherter Sehnenansatz am linken Humerus, **obere Mitte Mitte**: „Sandalenbruch“ am rechten Metatarsale III, **obere Mitte rechts**: Fibroostitis am proximalen Diaphysenende des rechten Femur, **untere Mitte**: Synostosierung des proximalen Tibiofibulargelenks der linken Tibia, **unten**: entzündliche Veränderungen am distalen Knochenende der linken Fibula

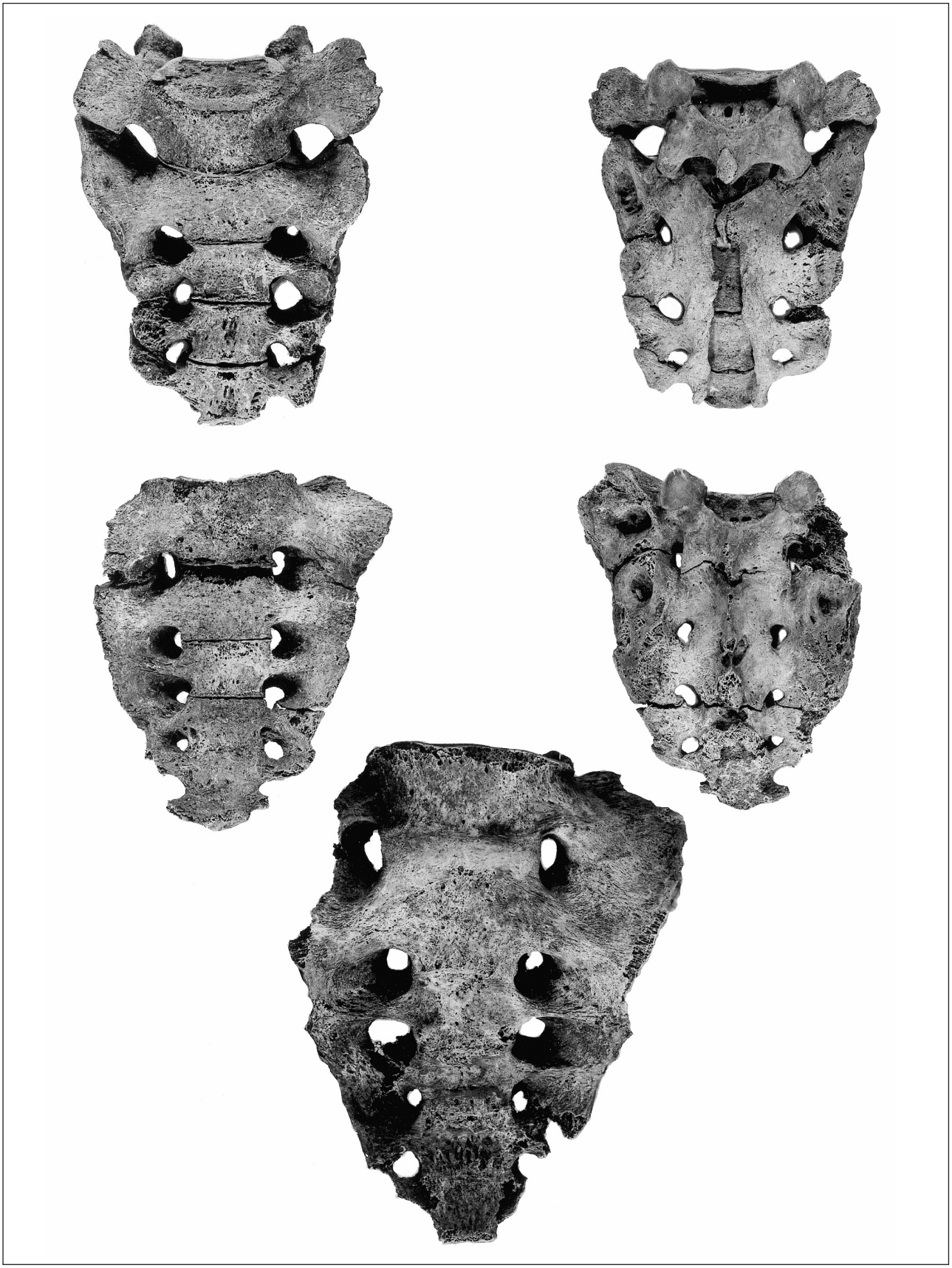


Grab 104/1; **oben links**: gesunde rechte Tibia, **oben Mitte**: linke Tibia nach Fraktur verkürzt und in „Bajonettstellung“ verwachsen, **oben rechts**: linke Fibula nach Fraktur verkürzt und in „Bajonettstellung“ verwachsen, **unten links**: verheilte Fraktur des 2. Strahls der linken Mittelhand, **unten rechts**: Randanschärfungen an den Gelenksflächen des linken Calcaneus

TAFEL X

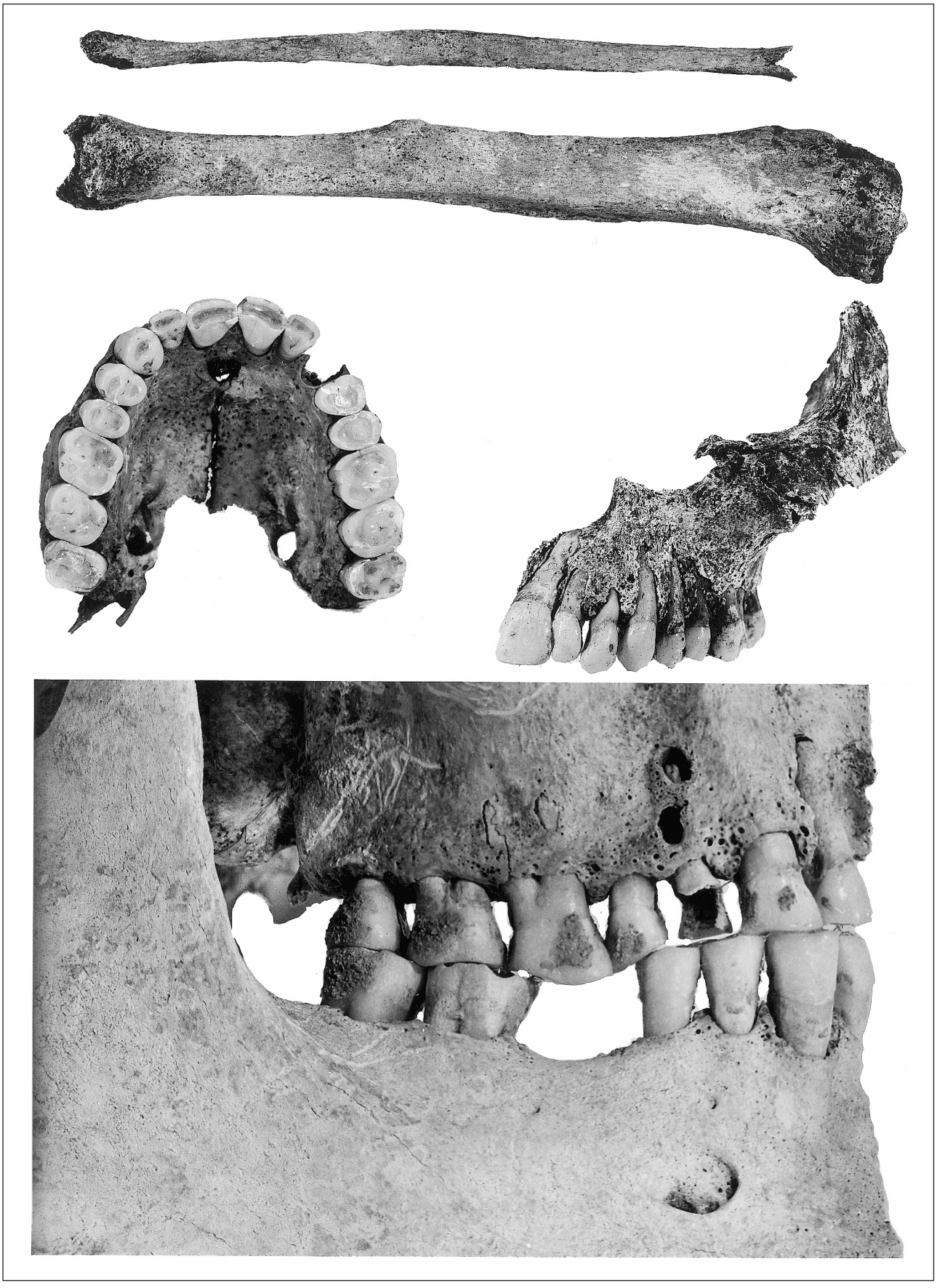


Grab 119/1; **oben links**: Teilweise Verschmelzung des rechten Hüftbeines mit dem Sacrum infolge einer Sacroiliitis, **oben rechts**: Osteomyelitis am distalen Ende der linken Fibula, zwei Ansichten der medialen Fläche, **Mitte** und **unten**: Osteomyelitis an der linken Tibia und Fibula

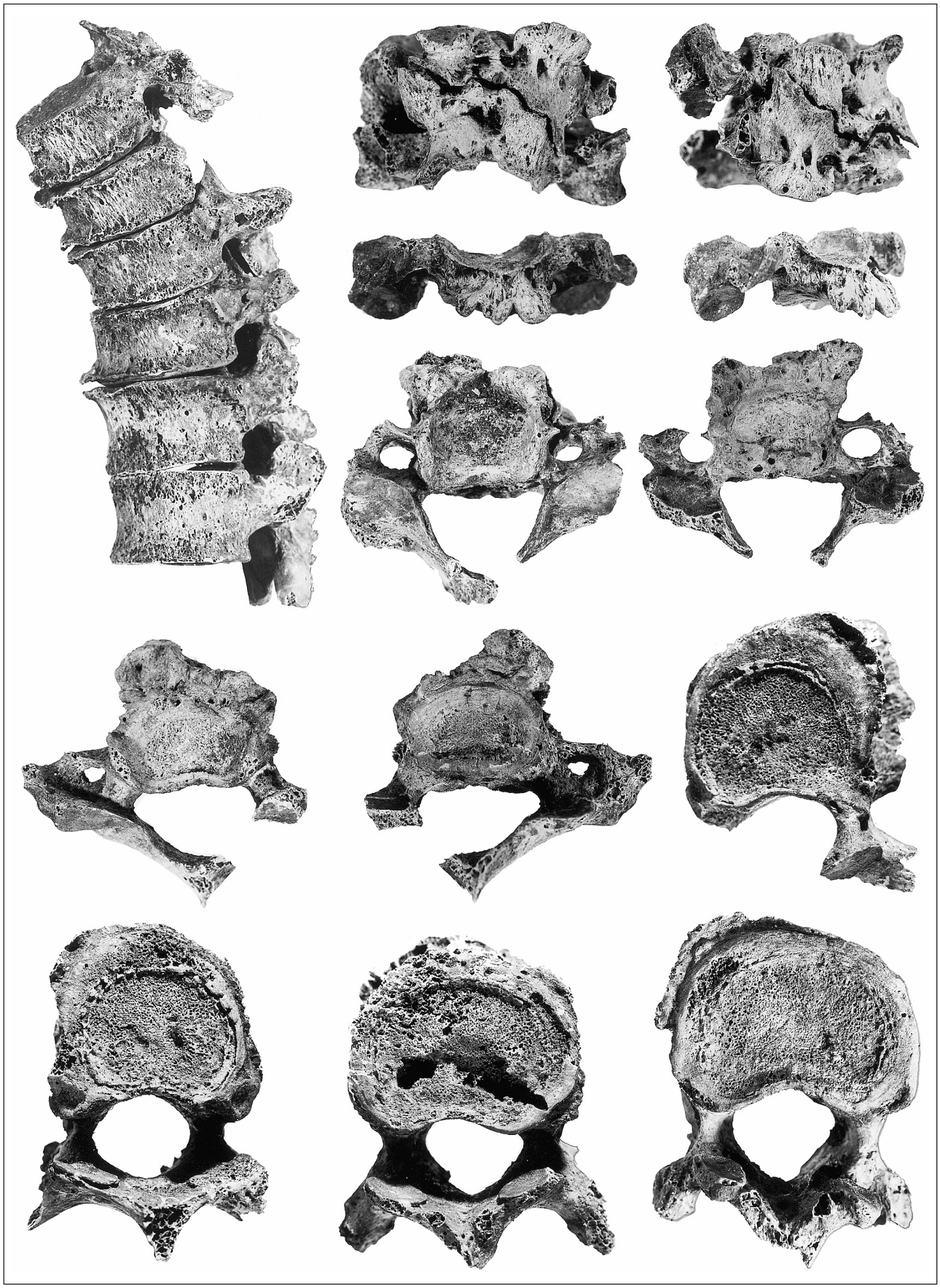


oben: Lumbalisierung von S1 und Spina bifida von Grab 135/1, **Mitte**: altersuntypische Verknöcherungsverhältnisse am Kreuzbein, Grab 128, **unten**: Sakralisierung von L5, Grab 119/1

TAFEL XII



oben: Hyperostosen an der Vorderkante und am Malleolus medialis der rechten Tibia, Grab 28/2, **Mitte links**: Porosierungen des harten Gaumens, Grab 9/1, **Mitte rechts**: überzähliger Incisivus im Oberkiefer, Grab 176, **unten**: Fenestratio nach apikalem Prozeß und Karies (P4) im Oberkiefer, Reduktion des Alveolarkammes nach Zahnverlust im Unterkiefer, Grab 119/1



Pathologische Veränderungen des Achsenskelettes; **oben links**: Kyphose der Brustwirbelsäule, Grab 104/1, **oben rechts** und **unten**: spondylotische und spondylarthritische Veränderungen der Hals- und Brustwirbelsäule mit Nucleus pulposus Hernien, Grab 118/1

TAFEL XIV

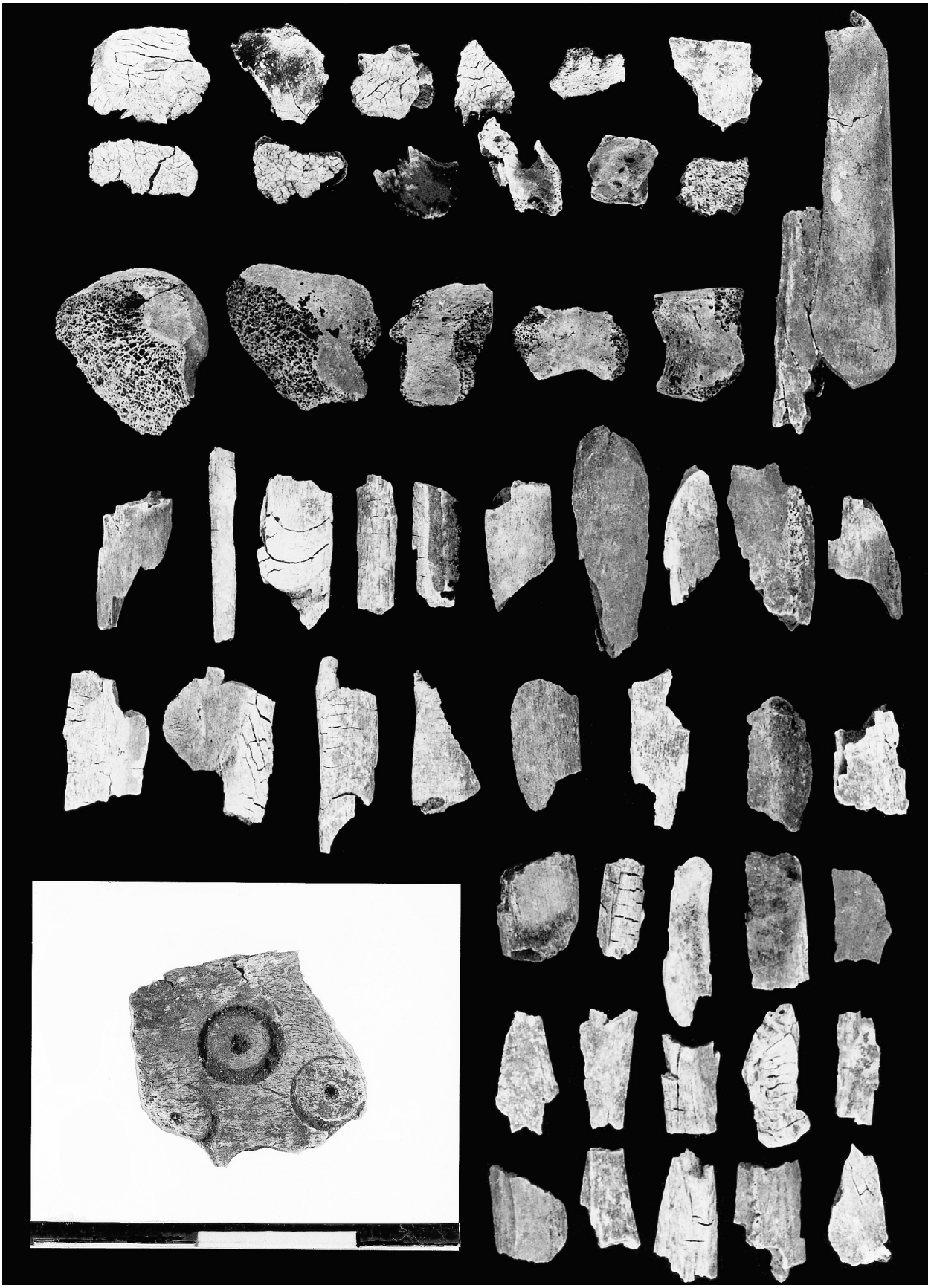


Harris'sche Linien am Röntgenbild der Langknochen; **oben**: Gräber 92, 104/2, 115/4, 119/2, 135/2, **Mitte**: Gräber 150, 100, 97, **unten**: Gräber 106/2, 152, 182, 135/1

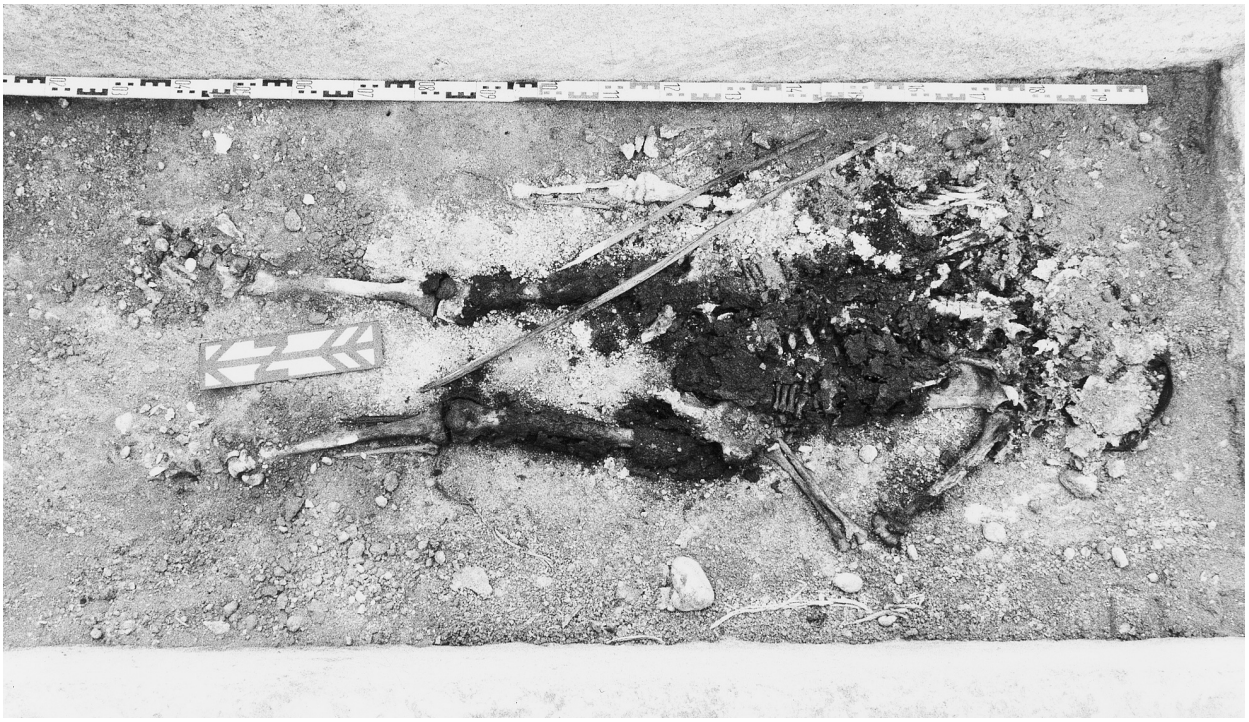


Harris'sche Linien im Röntgebild der Langknochen; **oben**: Gräber 103, 176, **Mitte**: Gräber 149, 160, **unten**: Gräber 153/1, 159/1

TAFEL XVI



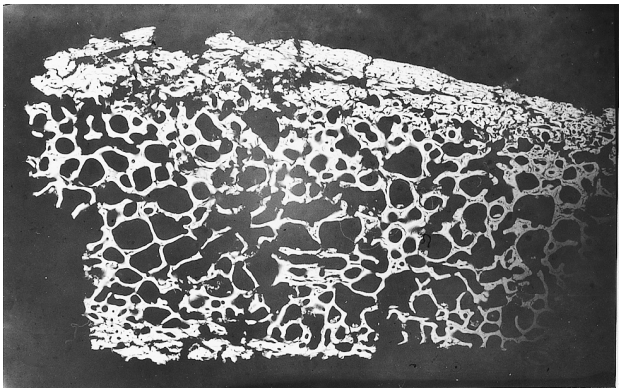
Grab 35, Leichenbrand; **oben**: Fragmente des Hirnschädels, **Mitte** und **unten rechts**: Fragmente der Langknochen, **unten links**: trepaniertes Tierknochenstück (Kamm?)

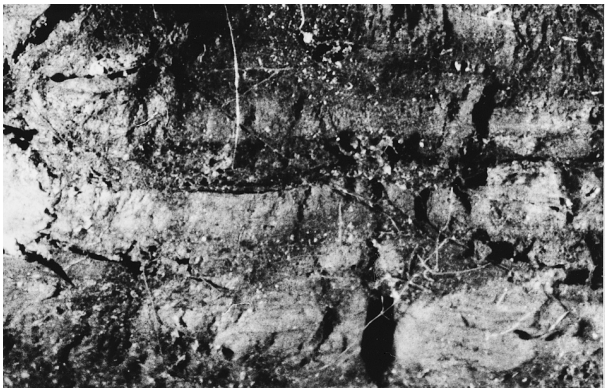




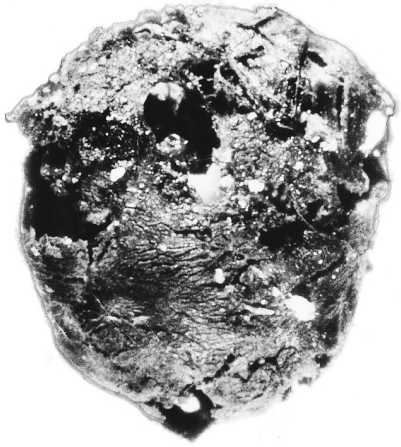
Sarkophagbestattungen; **oben**: Sarkophagbestattung A, natürliche Mumifizierung, **unten**: Sarkophagbestattung B–E, natürliche Mumifizierung

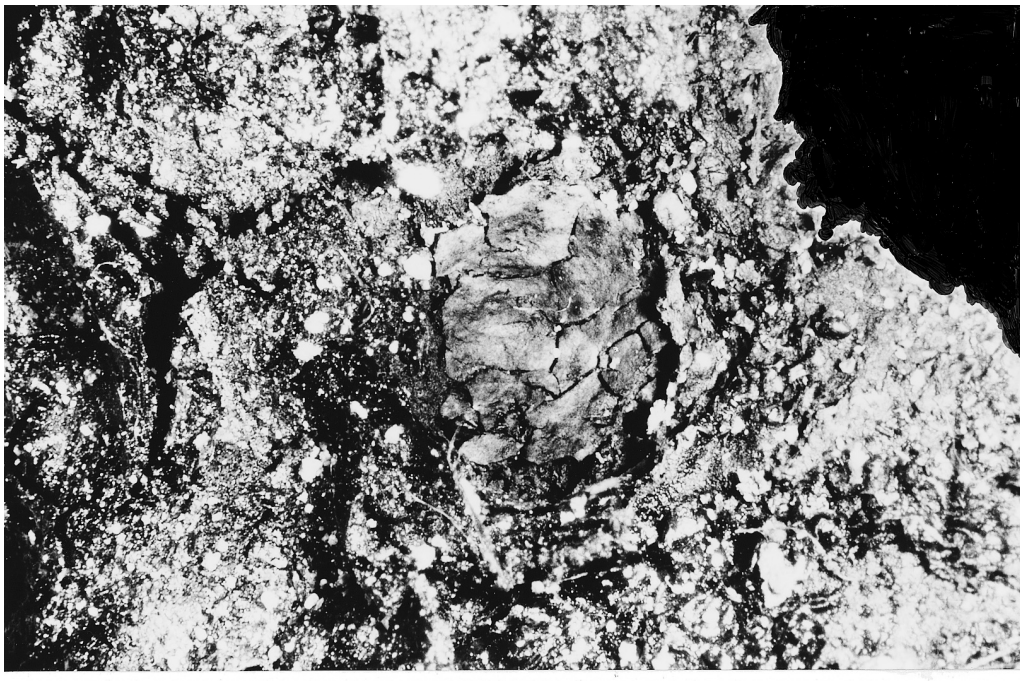
TAFEL XVIII



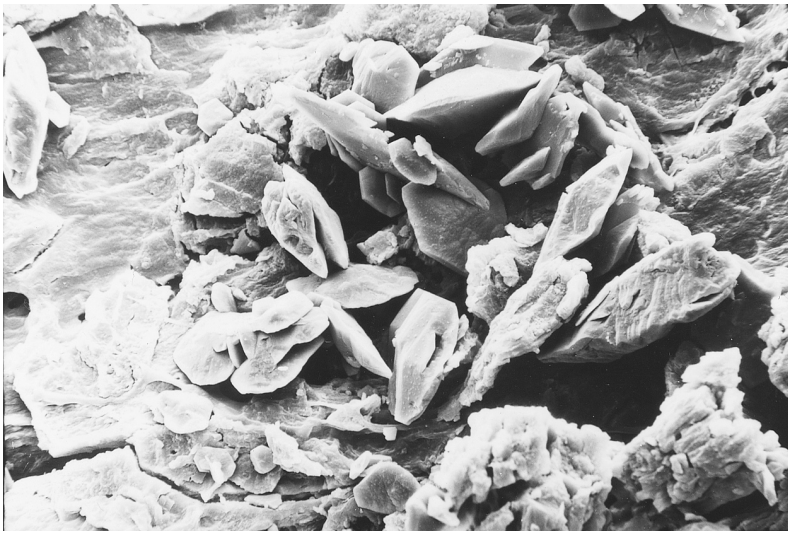


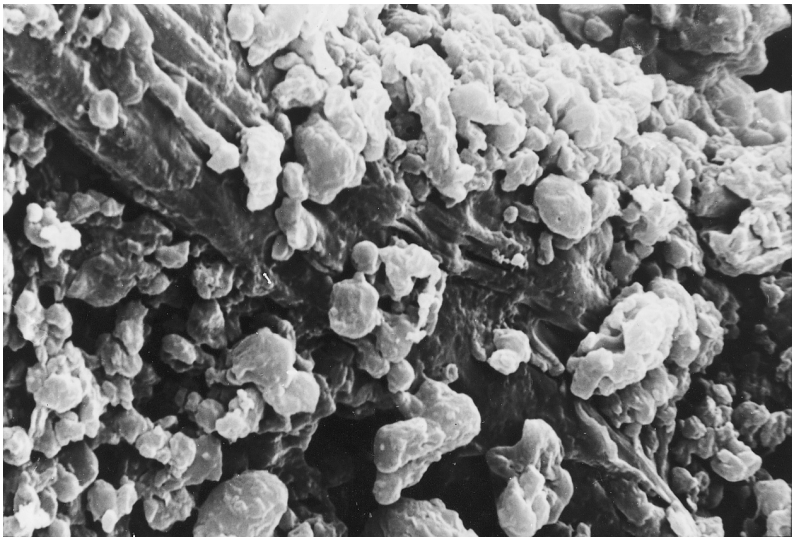


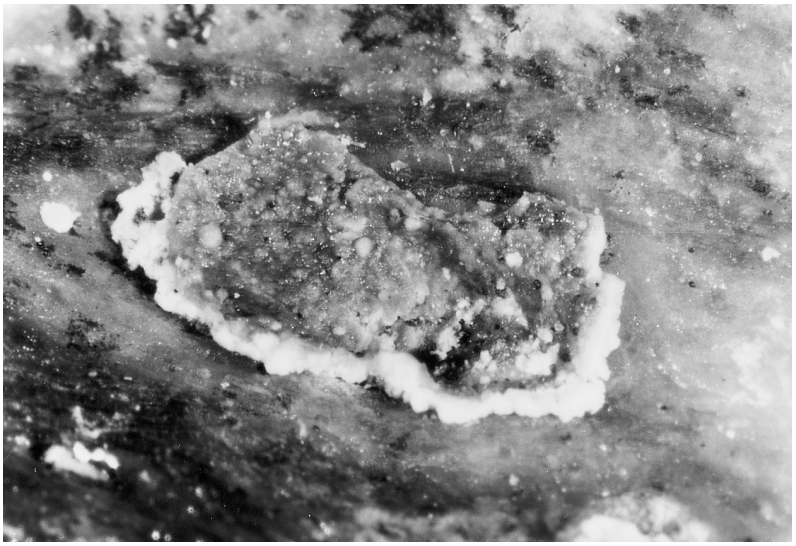




Sarkophagbestattung A; **oben links**: Mikroradiographie, Querschnitt des rechten Scheitelbeinhöckers, **oben rechts**: durchwachsenes Muskelgewebe, **Mitte**: Cysticercus (Bandwurmfinne) aus dem Lungengewebe, **unten**: umgebendes Gewebe des Cysticercus









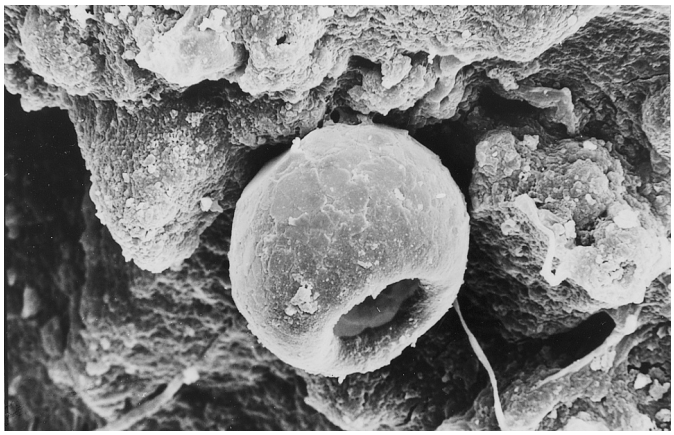


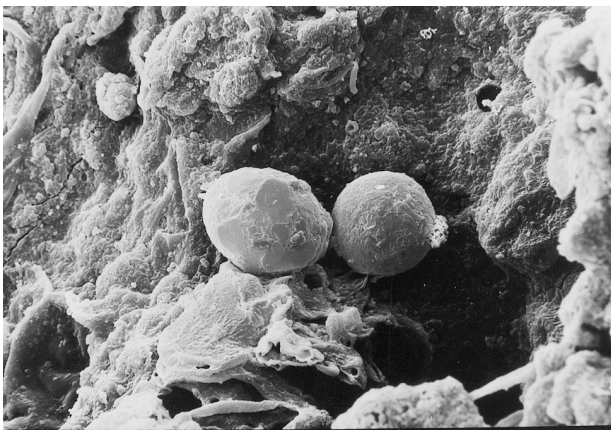
Brushitbildung am Skelett von Sarkophagbestattung A; **oben** und **Mitte links**: rasterelektronenmikroskopische Aufnahmen der Calziumphosphatausblühungen am linken Schulterblatt, **oben rechts**: Brushitausblühungen und Aufsprengungen am linken Humerus und der rechten Clavicula, **unten**: Lichtmikroskopische Aufnahmen von Brushitauflagerungen am rechten Femur

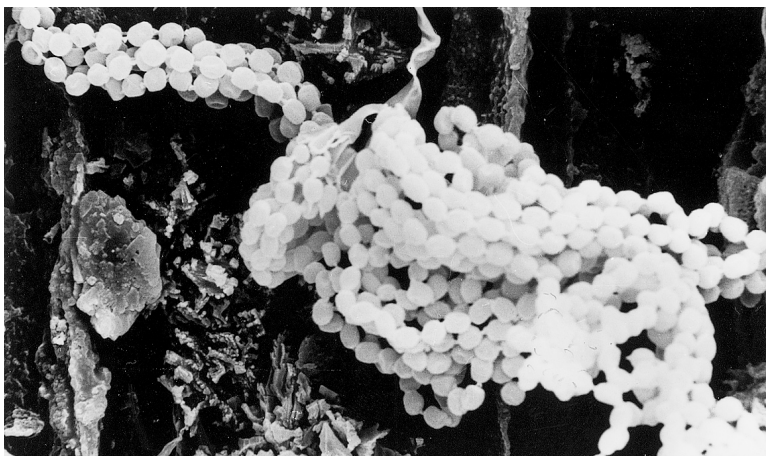
TAFEL XX

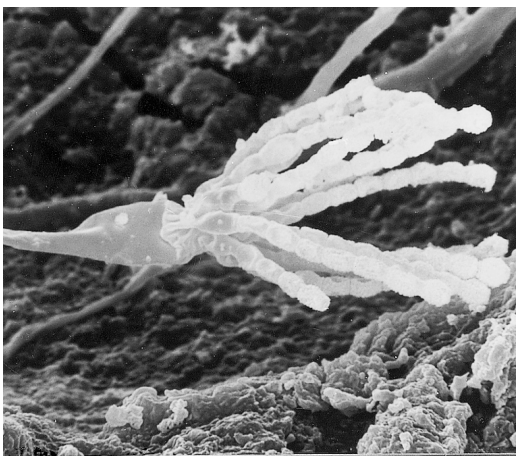




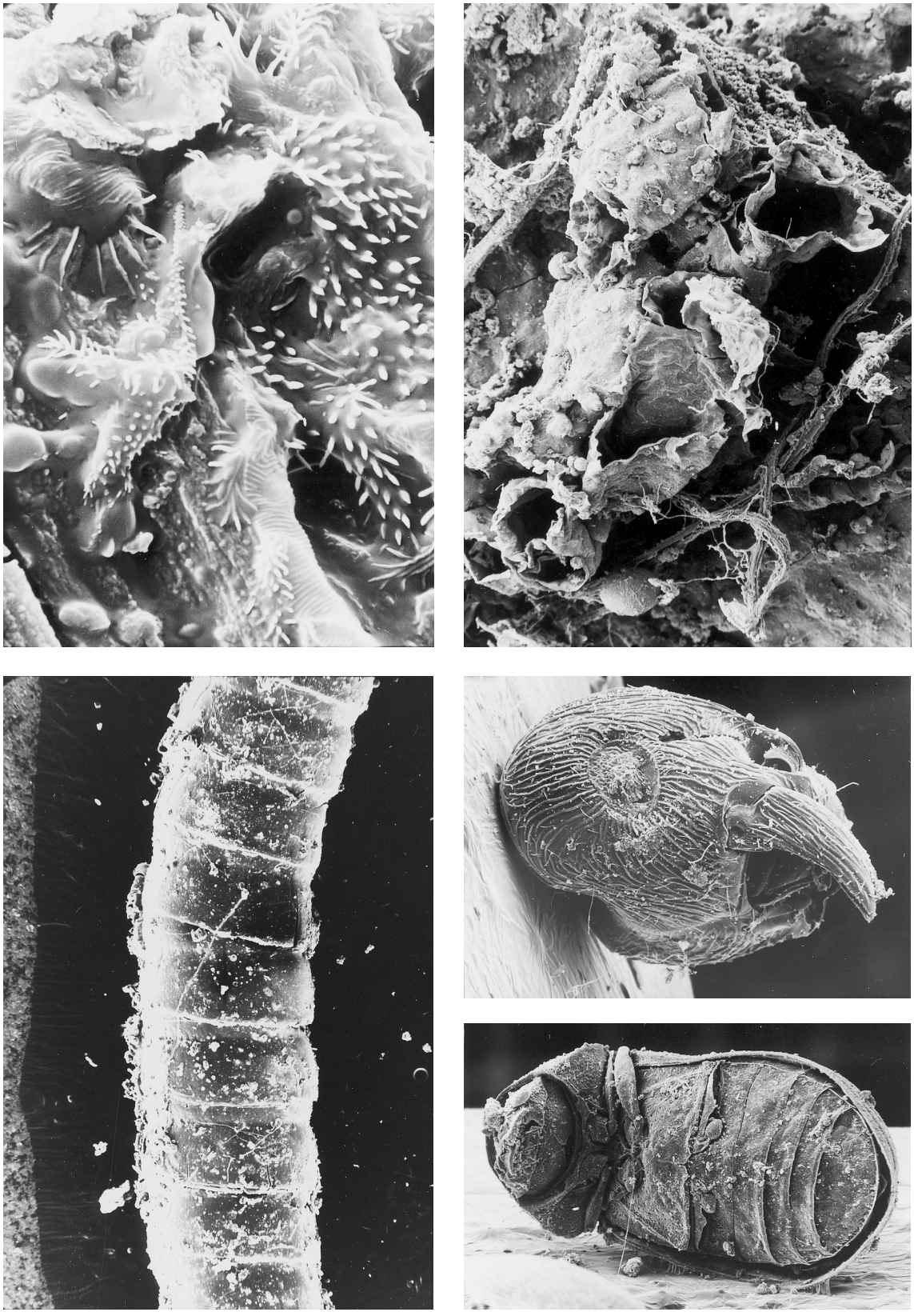






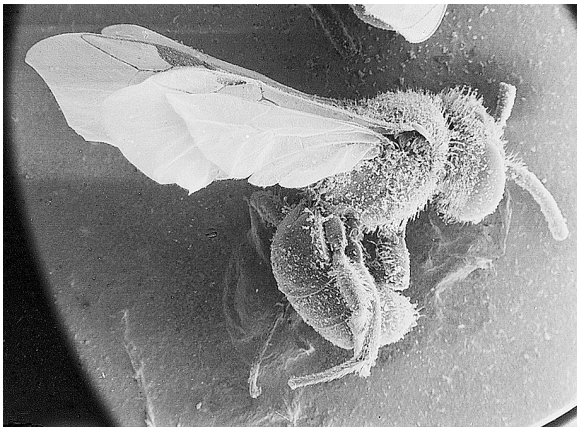


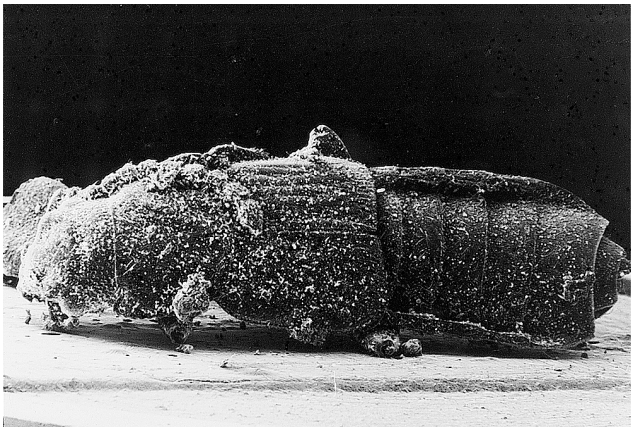
Verpilzung des Skelettes von Sarkophagbestattung A; **oben links**: Pilzhyphen an der Innenseite des linken Hüftbeines, **oben rechts**: Detailaufnahme der Pilzhyphen, **Mitte**: rasterelektronenmikroskopische Aufnahmen der Pilzsporen, **unten**: Konidien (Pilzsporenträger)



Rasterelektronenmikroskopische Aufnahmen der Leichenfauna von Sarkophagbestattung A; **oben links**: Detail der Magenschleimhaut eines Insekts (?), **oben rechts**: Exuvien von Dipteren und Pilzsporen, **unten links**: Detailaufnahme einer Insektenlarve, **unten rechts oben**: Ameisenkopf (Formicoidea), **unten rechts unten**: Ventralseite eines Pochkäfers (Coleoptera, Scarabeidae)

TAFEL XXII

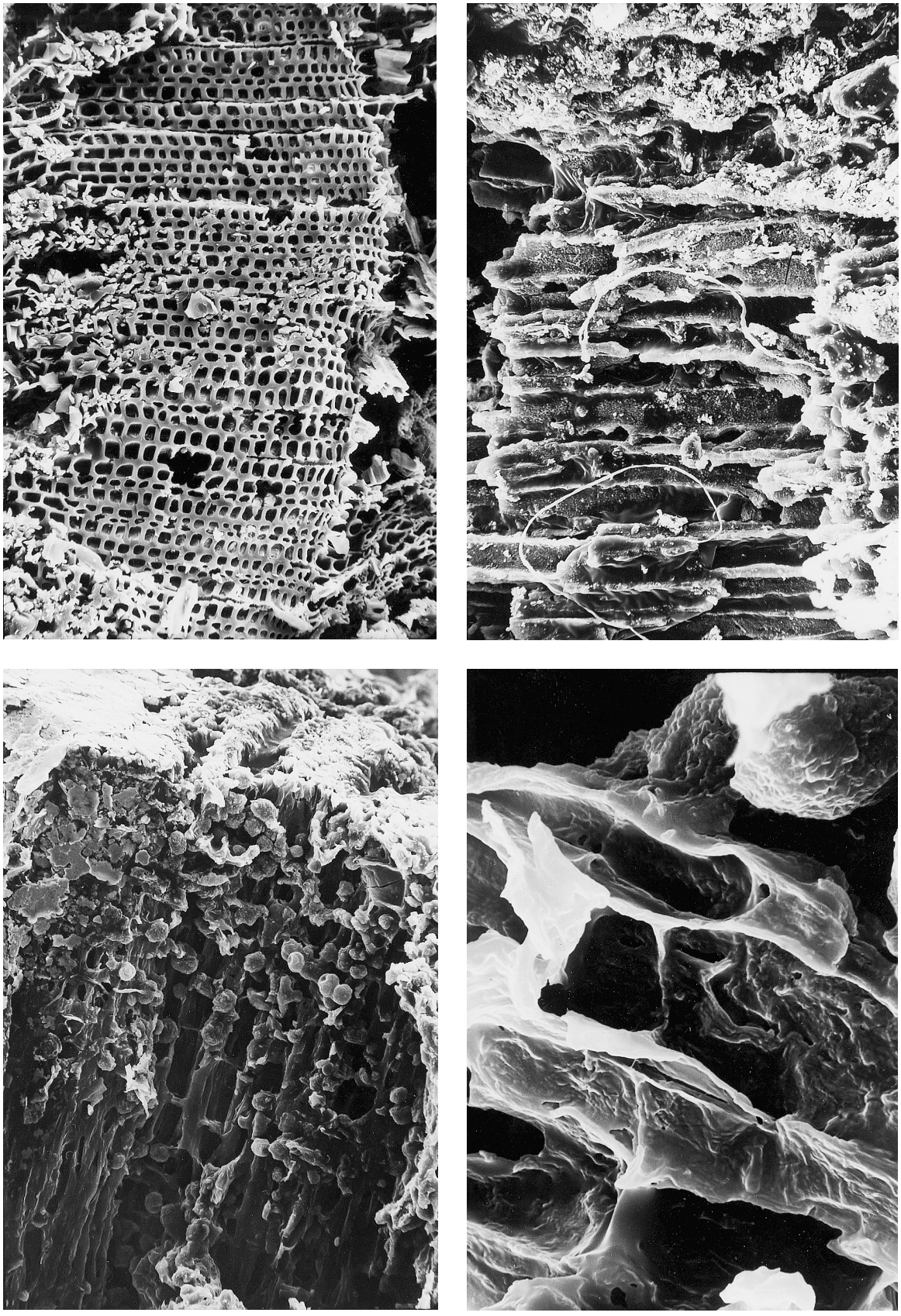






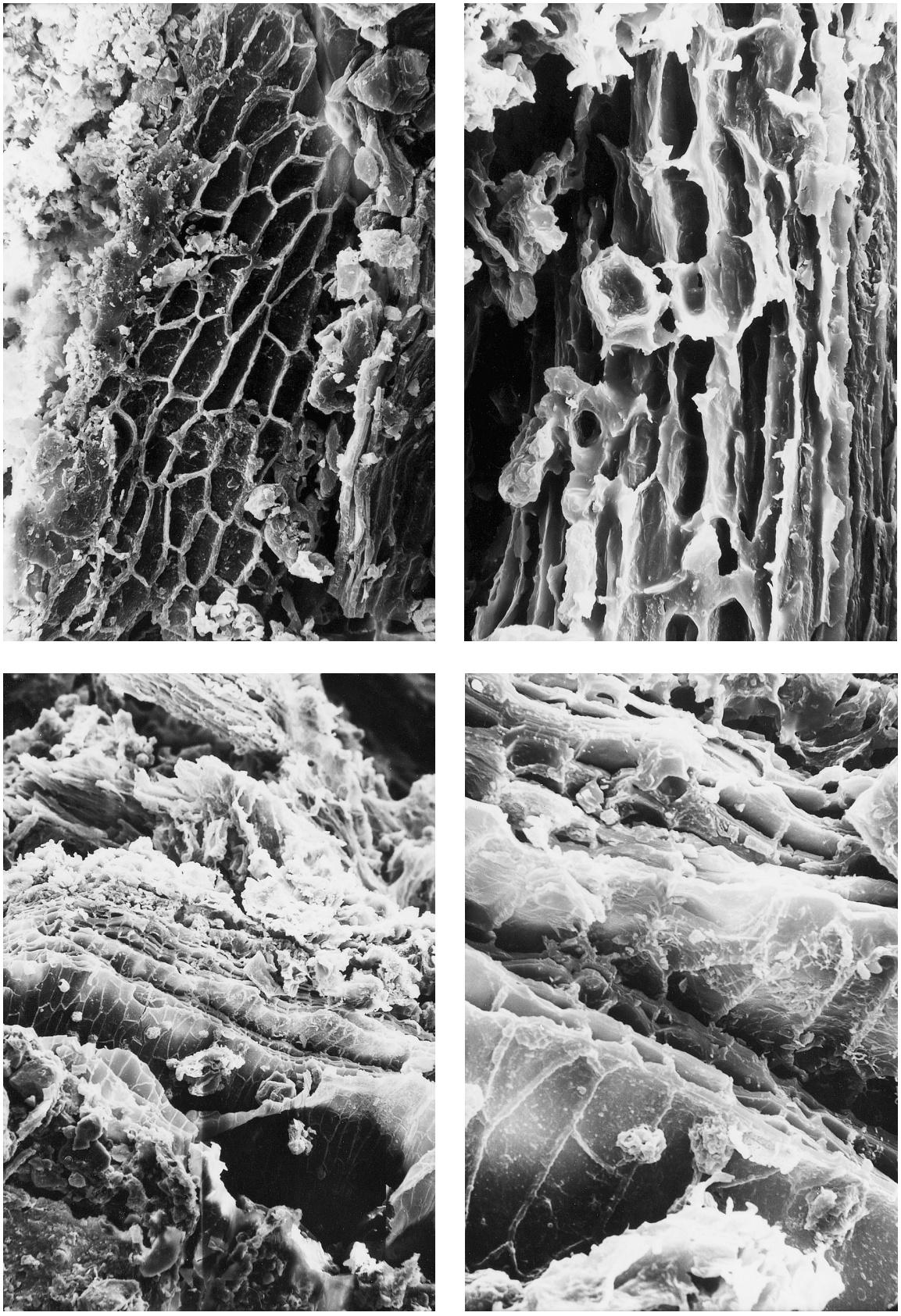


Licht- und rasterelektronenmikroskopische Aufnahmen der Leichenfauna von Sakrophagbestattung A; **oben links**: Hautflügler (Hymenoptera apocrita), **oben rechts**: Raubkäfer (Coleoptera, Staphylinidae, Aleocharinae), **Mitte**: Käfer (Coleoptera, Dermitidae), **unten**: Käferlarve (Coleoptera, Scarabeidae)

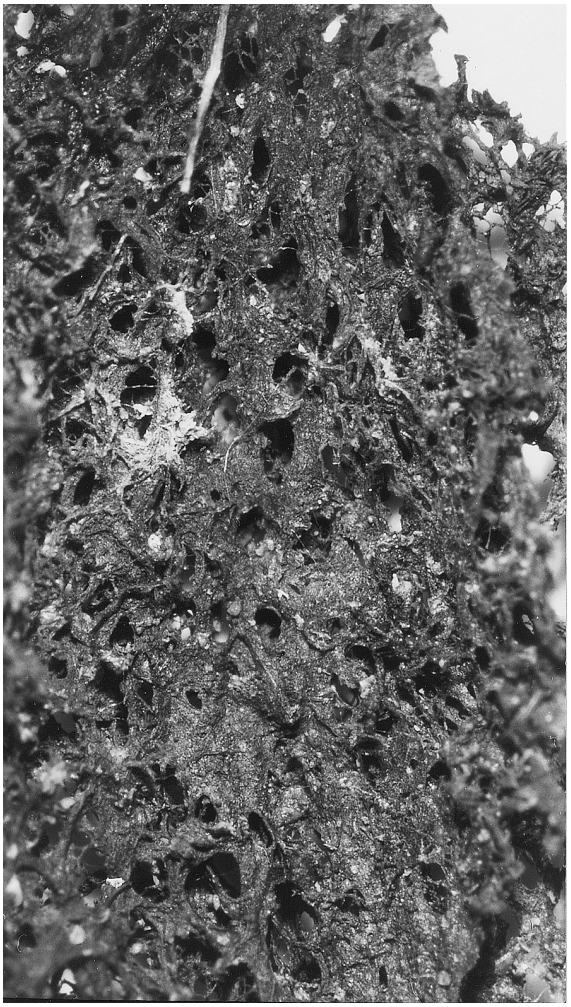


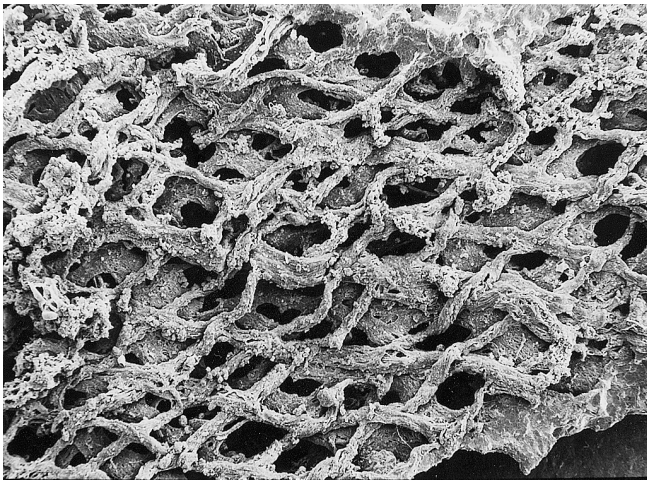
Rasterelektronenmikroskopische Aufnahmen des Bogenholzes (Nadelbaum) von Sarkophagbestattung A

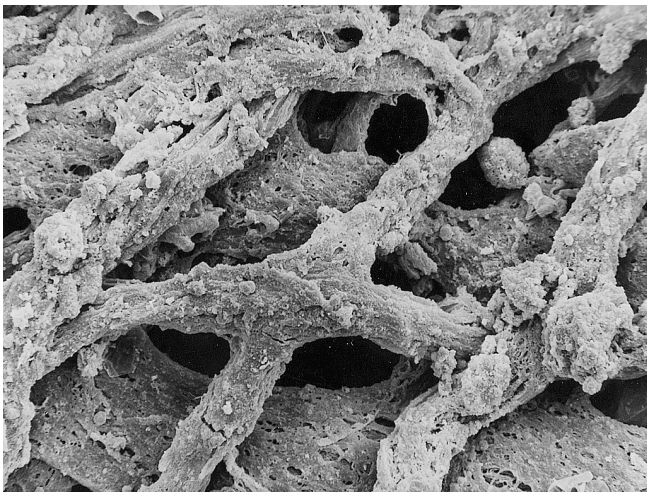
TAFEL XXIV

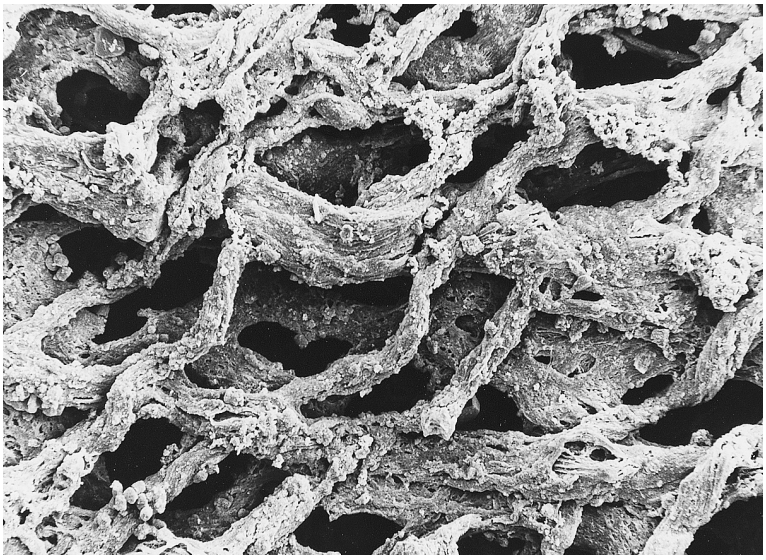


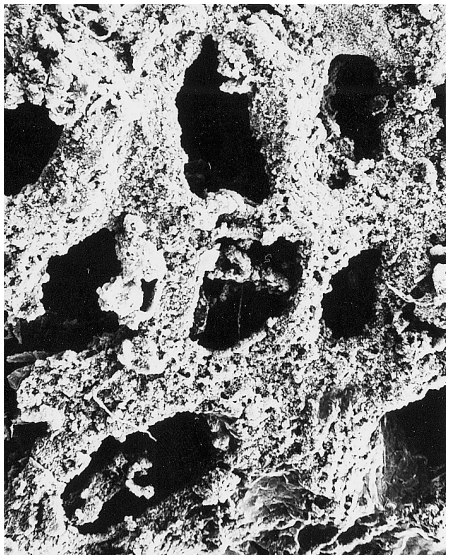
Rasterelektronenmikroskopische Aufnahmen der Bruchstelle des Rindenstirnbandes (Birkenrinde) von Sarkophagbestattung A



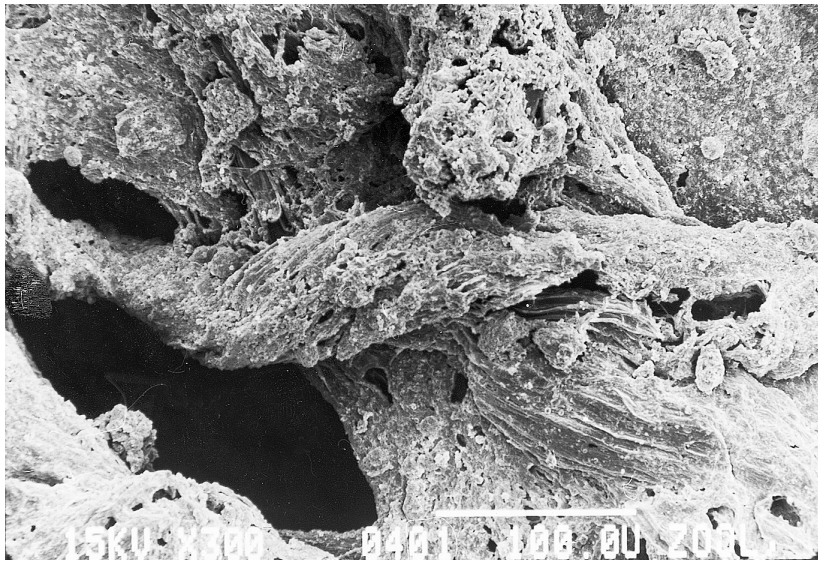




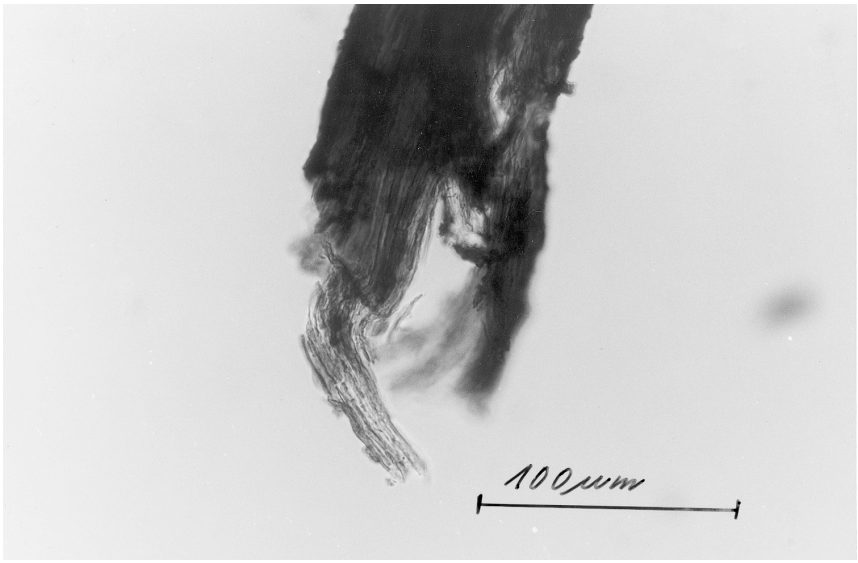




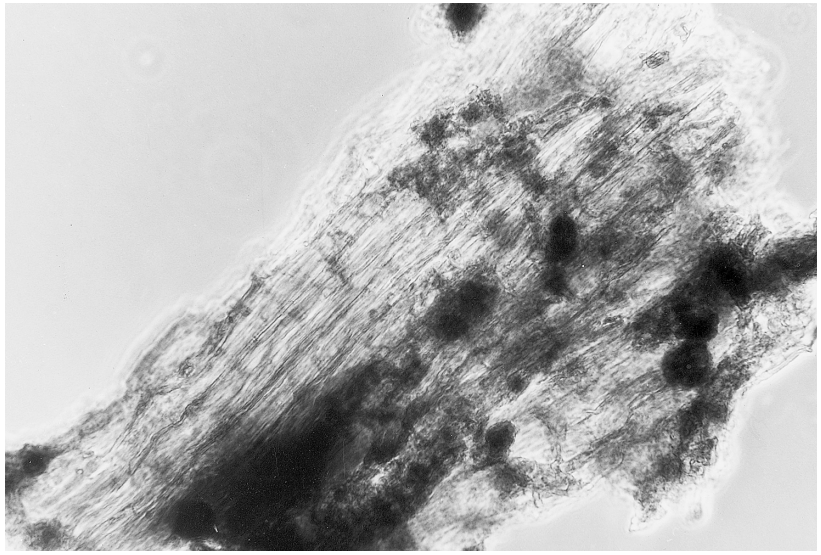
Licht- und rasterelektronenmikroskopische Aufnahmen des Unterhautbindegewebes sowie des aufgelagerten Leinenstoffes der Sarkophagbestattung A



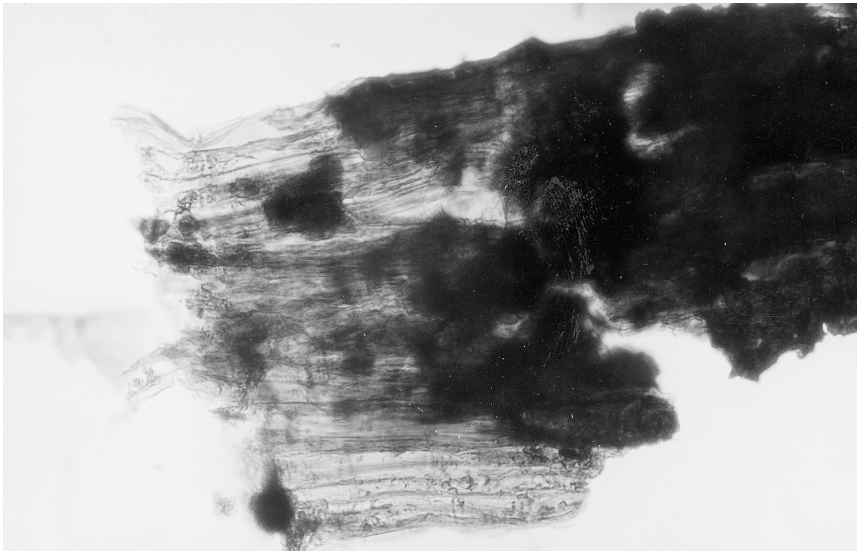
1: Gedrehter Textilfaden über dem Unterhautbindegewebe. Vergr. 300fach R.E.M.



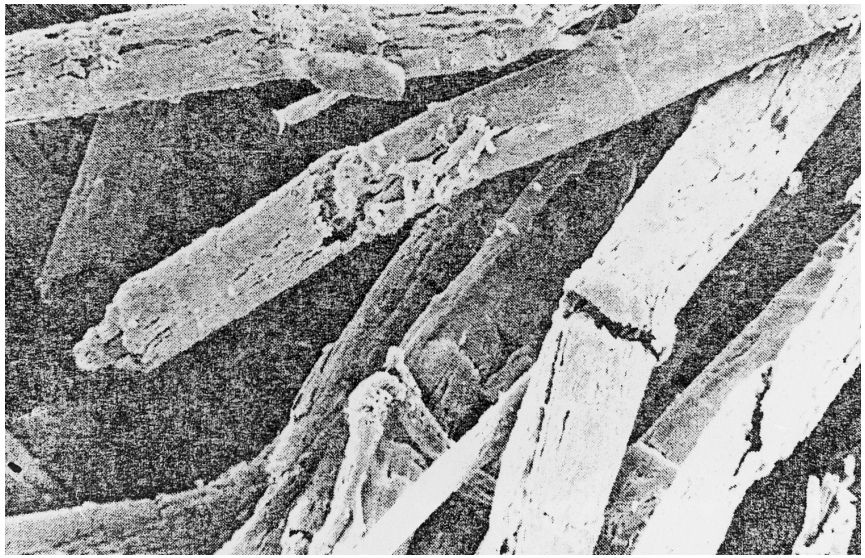
2: Durchlicht-Aufnahme eines Fadens des Schleiergewebes. Vergr. 380fach R.E.M.



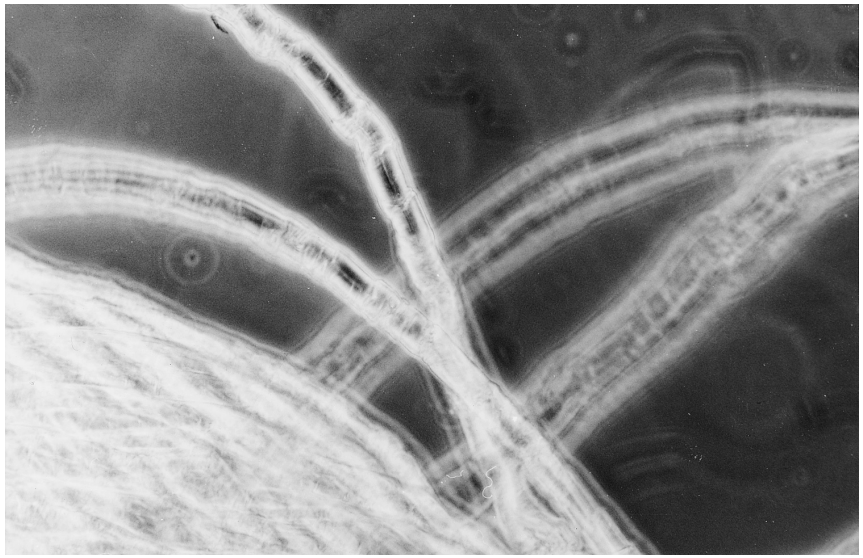
3: Durchlicht-Phasenkontrast-Aufnahme eines Fadens des Schleiergewebes.
Vergr. 512fach R.E.M.



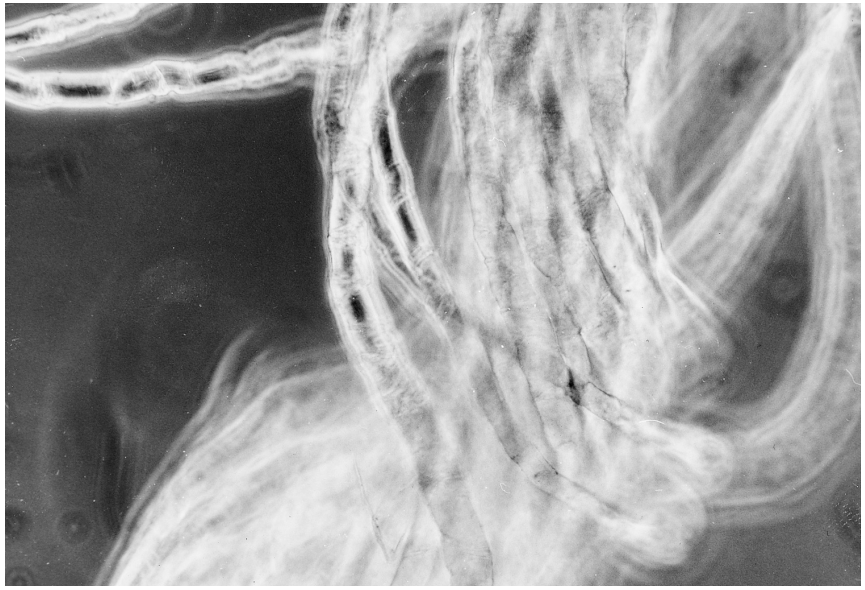
4: Durchlicht-Aufnahme eines weiteren Fadens des Schleiergewebes.
Vergr. 400fach R.E.M.



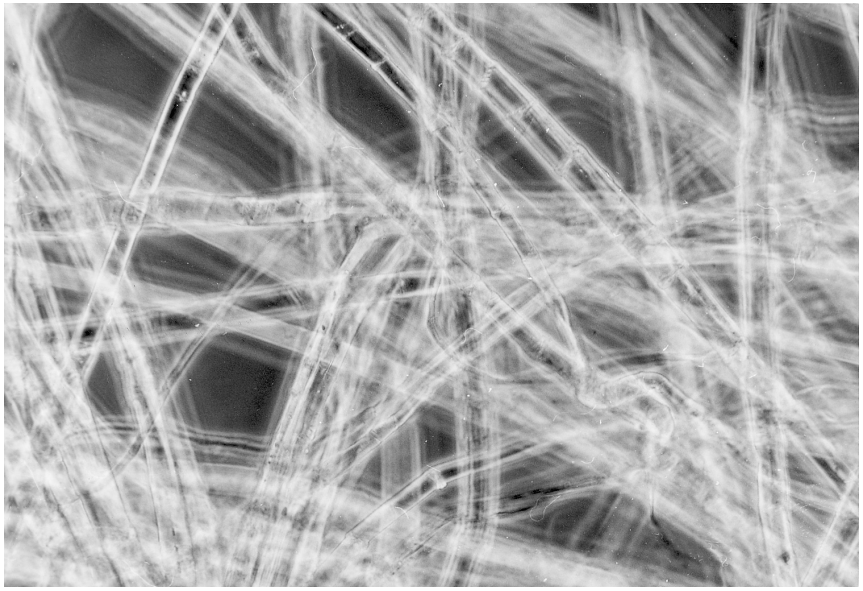
1: Bruchstellen von Flachsfasern. Vergr. 1000fach R.E.M. Aus: Cooke – Lomas 1987.



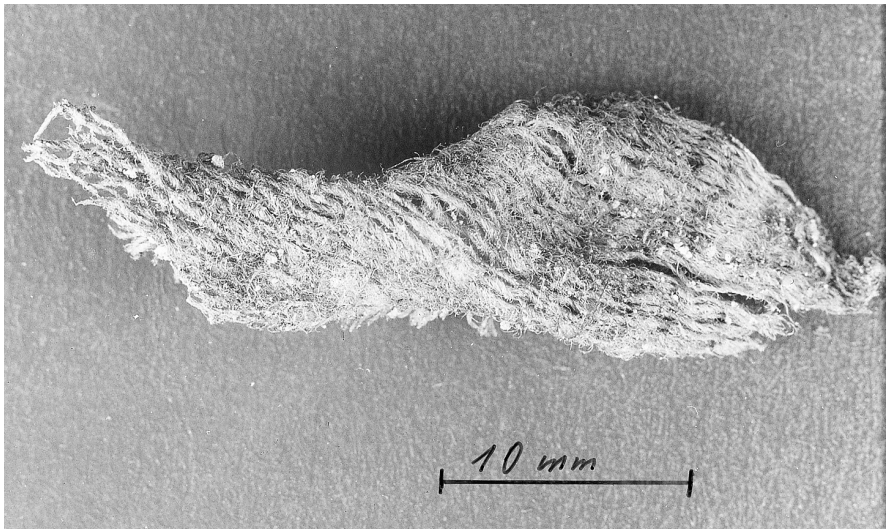
2: Teil eines Leinenfadens von einem ägyptischen Gewand KHM Inv.Nr. 3559. Durchlicht-Phasenkontrast-Aufnahme. Vergr. 400fach.



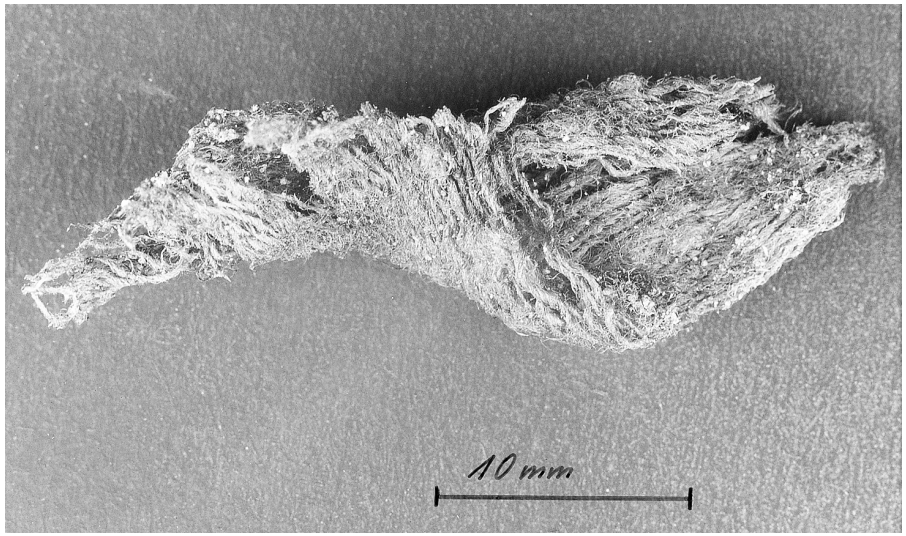
3: Teil eines Leinenfadens von einem ägyptischen Umhang KHM Inv.Nr. 9295. Durchlicht-Phasenkontrast-Aufnahme. Vergr. 400fach.



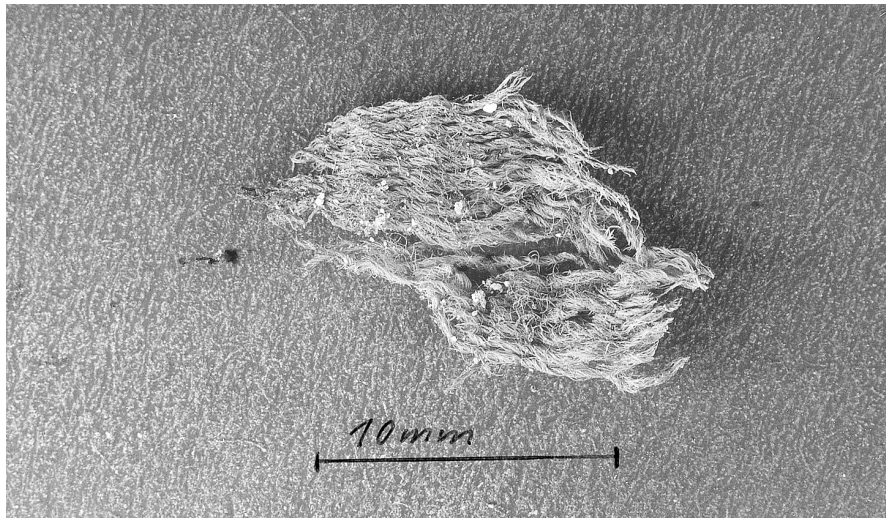
4: Flachsfasern aus einem Schleier des Dom und Diözesan-Museum St. Stephan, Wien. Durchlicht-Phasenkontrast-Aufnahme. Vergr. 400fach.



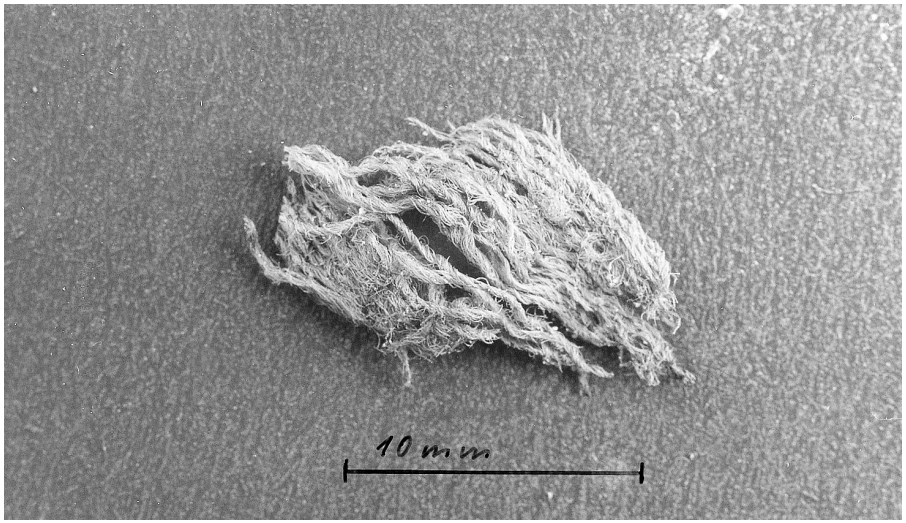
1: Wollstoff-Fragment A aus dem Kindersarkophag. Vergr. 3,5fach, Vorderseite



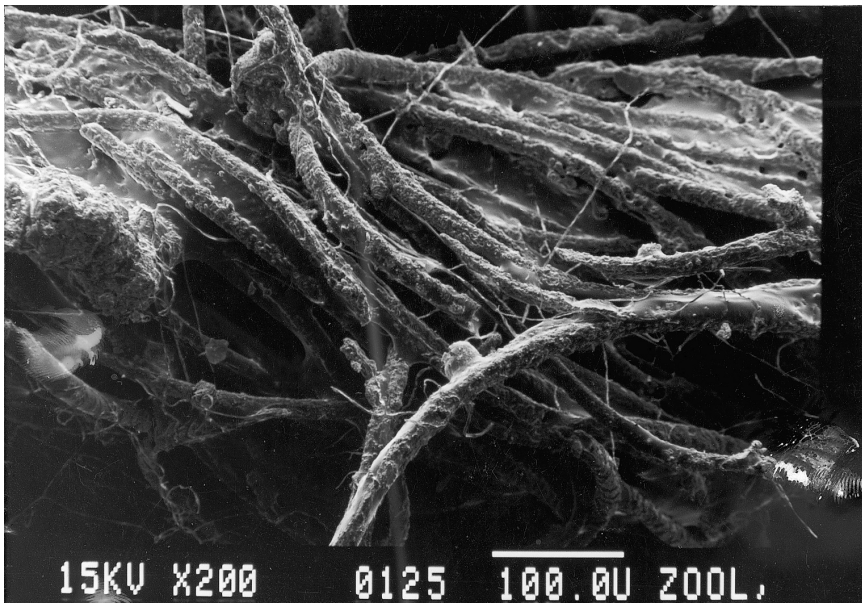
2: Rückseite



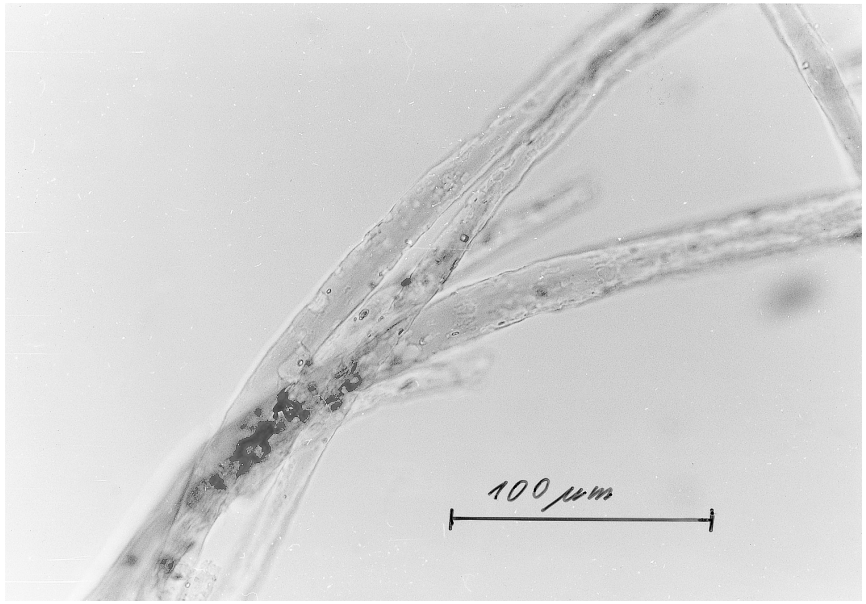
3: Wollstoff-Fragment B aus dem Kindersarkophag. Vergr. 4fach, Vorderseite



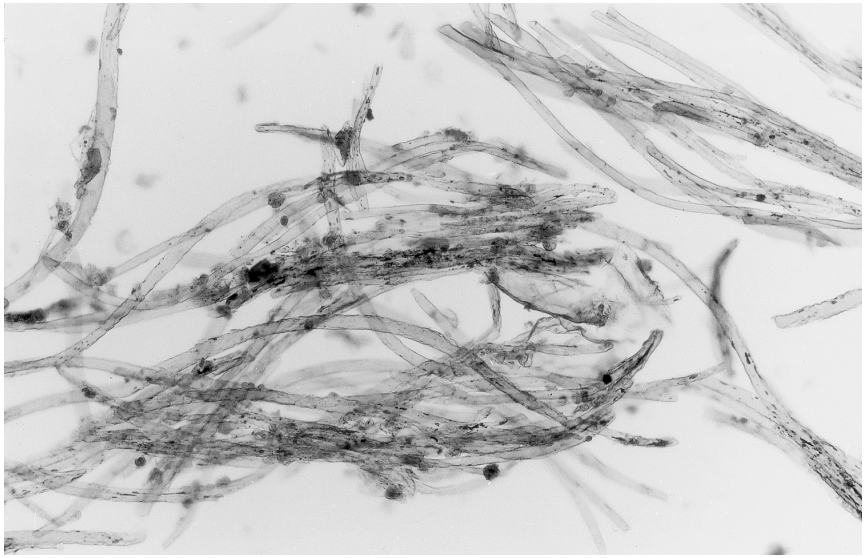
4: Rückseite



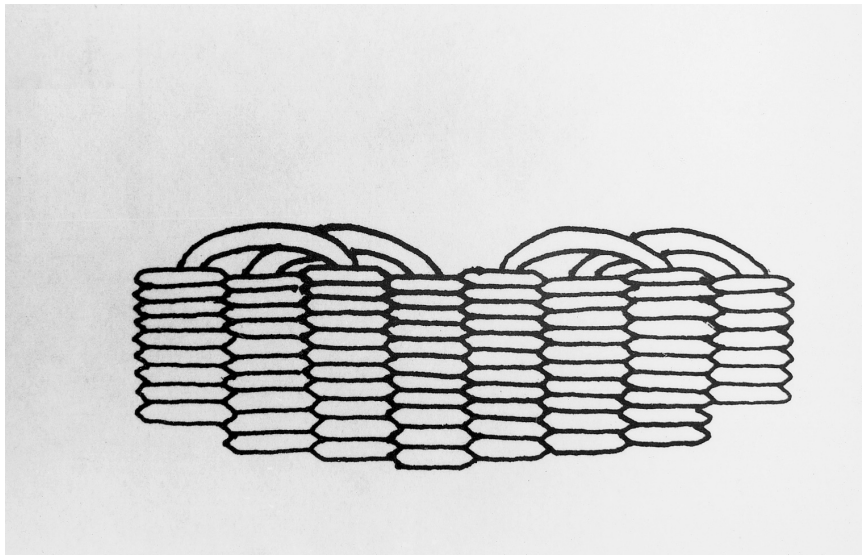
1: Rasterelektronenaufnahmen der Wollfasern. Vergr. 200fach.



2: An den Fäden sind die Schuppen der Wolle zu erkennen. Vergr. 380fach R.E.M.



3: Durchlichtaufnahme von Wollfasern. Mit Lumen an manchen Stellen.
Vergr. 90fach R.E.M.



4: Darstellung der Ripstechnik vom Ronbjerg-Gewand. Aus: Nielson 1981.